

# АНАЛИЗ КОМПЛЕКСНЫХ ПОКАЗАТЕЛЕЙ НАДЕЖНОСТИ СЕТЕЙ ПЕРЕДАЧИ ДАННЫХ

П.А. Рахман

## Введение

В последние три десятилетия наблюдается бурное развитие информационных технологий и их внедрение в самые различные сферы деятельности человека, и сети передачи данных стали неотъемлемой частью жизни людей, без которой практически уже немислим информационный обмен. В такой ситуации анализ технических характеристик существующих сетей передачи данных и проектирование новых сетей с учетом заданных характеристик была и остается одной из наиболее актуальных задач в области информационных технологий.

Помимо таких технических характеристик сетей, как: производительность, латентность, масштабируемость, степень прозрачности для конечных пользователей, также крайне важными характеристиками являются комплексные показатели надежности такие как: коэффициент готовности и среднее время недоступности в год. От показателей надежности напрямую зависит доступность информационных сервисов для пользователей. Кроме того, от надежности сети косвенно также зависят производительность и латентность сети, поскольку возникновение сбоев и отказов в сети влечет к необходимости повторной передачи блоков данных, а это в итоге ведет к увеличению задержек при передаче и уменьшению объемов передаваемых данных в единицу времени. Наконец, от надежности сети также косвенно зависит безопасность функционирования систем управления какими-либо объектами, в которых несвоевременная реакция (из-за отказов и сбоев в сети передачи данных) системы управления на какие-либо критические изменения в объекте управления могут привести к серьезным последствиям. В такой ситуации анализ показателей надежности сетей передачи данных является особенно актуальной проблемой.

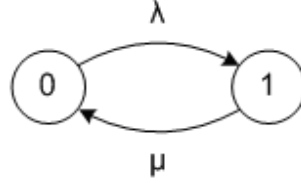
В рамках данной статьи автор рассматривает применение теоретической модели надежности восстанавливаемых систем [1, 2], состоящих из одной или нескольких групп однородных объектов, на несколько типовых топологий локальных сетей и на магистральные сети с задаваемой топологией с целью анализа коэффициента готовности сетей. В основе модели лежит математический аппарат теории вероятностей [3]. Для максимального упрощения конечных формул для расчета коэффициента готовности автором делается допущение о полной независимости объектов как внутри групп, так и между группами, как по отказам, так и по восстановлению. Кроме того, также для упрощения анализа не учитывается возможность отказов самих каналов связи в сетях передачи данных.

В первой части статьи рассматриваются модели надежности восстанавливаемых систем с конечными формулами для расчета вероятностей всех состояний систем. Во второй части рассматриваются несколько простейших видов топологий современных локальных сетей [5, 6] с некоторыми топологическими допущениями (достаточно распространенными на практике), существенно упрощающими итоговые формулы расчета коэффициента готовности этих сетей. Наконец, в третьей части рассматриваются магистральные сети [5, 7] с произвольно задаваемой топологией, и приведена методика расчета коэффициента готовности, использующая в своей основе алгоритмы комбинаторики и теории графов [4]. Для каждой из рассматриваемых топологий сетей приводятся примеры расчета коэффициента готовности.

## 1. Марковские модели надежности восстанавливаемых систем

### 1.1. Марковская модель восстанавливаемого объекта

Пусть имеется восстанавливаемый объект с заданными интенсивностями отказов  $\lambda$  и восстановления  $\mu$ . Тогда марковская модель надежности объекта:



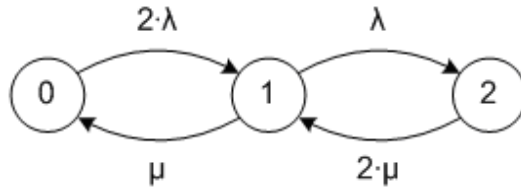
$$\left\{ \begin{array}{l} P_0(0) = 1; \quad P_1(0) = 0 \\ P_0(t) + P_1(t) = 1 \\ \frac{dP_0(t)}{dt} = -\lambda \cdot P_0(t) + \mu \cdot P_1(t) \\ \frac{dP_1(t)}{dt} = \lambda \cdot P_0(t) - \mu \cdot P_1(t) \end{array} \right. \Rightarrow \left\{ \begin{array}{l} P_0(t) = \frac{1}{1+\rho} \cdot \left(1 + \rho \cdot e^{-\alpha \cdot t}\right) \\ P_1(t) = \frac{\rho}{1+\rho} \cdot \left(1 - e^{-\alpha \cdot t}\right) \end{array} \right.$$

$$\rho = \lambda/\mu; \quad \alpha = \lambda + \mu;$$

$$\lim_{t \rightarrow \infty} P_0(t) = \frac{1}{1+\rho}; \quad \lim_{t \rightarrow \infty} P_1(t) = \frac{\rho}{1+\rho};$$

### 1.2. Марковская модель пары независимых восстанавливаемых объектов

Пусть имеется пара восстанавливаемых объектов с одинаковыми интенсивностями отказов  $\lambda$  и восстановления  $\mu$ . Оба объекта могут независимо отказывать и независимо восстанавливаться без каких-либо ограничений. Тогда марковская модель надежности объекта:



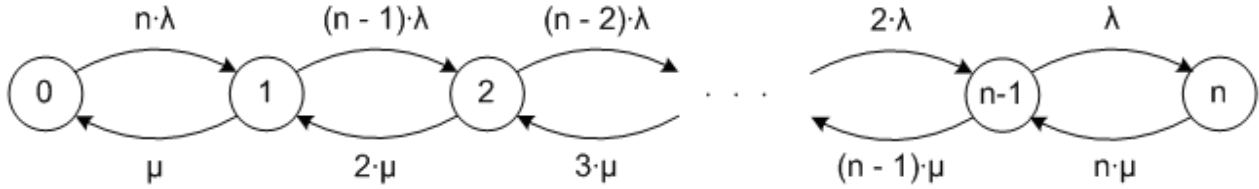
$$\left\{ \begin{array}{l} P_0(0) = 1; \quad P_1(0) = 0; \quad P_2(0) = 0 \\ P_0(t) + P_1(t) + P_2(t) = 1 \\ \frac{dP_0(t)}{dt} = -2 \cdot \lambda \cdot P_0(t) + \mu \cdot P_1(t) \\ \frac{dP_1(t)}{dt} = 2 \cdot \lambda \cdot P_0(t) - (\lambda + \mu) \cdot P_1(t) + 2 \cdot \mu \cdot P_2(t) \\ \frac{dP_2(t)}{dt} = \lambda \cdot P_1(t) - 2 \cdot \mu \cdot P_2(t) \end{array} \right. \Rightarrow \left\{ \begin{array}{l} P_0(t) = \frac{1}{(1+\rho)^2} \cdot \left(1 + \rho \cdot e^{-\alpha \cdot t}\right)^2 \\ P_1(t) = \frac{2 \cdot \rho}{(1+\rho)^2} \cdot \left(1 - e^{-\alpha \cdot t}\right) \cdot \left(1 + \rho \cdot e^{-\alpha \cdot t}\right) \\ P_2(t) = \frac{\rho^2}{(1+\rho)^2} \cdot \left(1 - e^{-\alpha \cdot t}\right)^2 \end{array} \right.$$

$$\rho = \lambda/\mu; \quad \alpha = \lambda + \mu;$$

$$\lim_{t \rightarrow \infty} P_0(t) = \frac{1}{(1+\rho)^2}; \quad \lim_{t \rightarrow \infty} P_1(t) = \frac{2 \cdot \rho}{(1+\rho)^2}; \quad \lim_{t \rightarrow \infty} P_2(t) = \frac{\rho^2}{(1+\rho)^2};$$

### 1.3. Марковская модель группы независимых восстанавливаемых объектов

Пусть имеется  $n$  восстанавливаемых объектов с одинаковыми интенсивностями отказов  $\lambda$  и восстановления  $\mu$ . Объекты могут независимо отказывать и независимо восстанавливаться без каких-либо ограничений. Тогда марковская модель надежности объекта:



$$\left\{ \begin{array}{l} P_0(0) = 1; \quad P_1(0) = 0; \quad \dots \quad P_n(0) = 0 \\ \sum_{i=0}^n P_i(t) = 1 \\ \frac{dP_0(t)}{dt} = -n \cdot \lambda \cdot P_0(t) + \mu \cdot P_1(t) \\ \frac{dP_1(t)}{dt} = n \cdot \lambda \cdot P_0(t) - (\mu + (n-1) \cdot \lambda) \cdot P_1(t) + 2 \cdot \mu \cdot P_2(t) \\ \frac{dP_2(t)}{dt} = (n-1) \cdot \lambda \cdot P_1(t) - (2 \cdot \mu + (n-2) \cdot \lambda) \cdot P_2(t) + 3 \cdot \mu \cdot P_3(t) \\ \vdots \\ \frac{dP_{n-1}(t)}{dt} = 2 \cdot \lambda \cdot P_{n-2}(t) - ((n-1) \cdot \mu + \lambda) \cdot P_{n-1}(t) + n \cdot \mu \cdot P_n(t) \\ \frac{dP_n(t)}{dt} = \lambda \cdot P_{n-1}(t) - n \cdot \mu \cdot P_n(t) \end{array} \right.$$

Общее решение системы дифференциальных уравнений в аналитическом виде (выведено автором путем индуктивных обобщений) выглядит следующим образом:

$$P_i(t) = C_n^i \cdot \frac{\rho^i}{(1+\rho)^n} \cdot \left(1 - e^{-\alpha \cdot t}\right)^i \cdot \left(1 + \rho \cdot e^{-\alpha \cdot t}\right)^{n-i} \quad (1.1)$$

$$i = 0 \dots n$$

$$\rho = \lambda/\mu; \quad \alpha = \lambda + \mu;$$

При  $t \rightarrow \infty$  марковский процесс становится установившимся, и вероятности уже не меняются с течением времени:

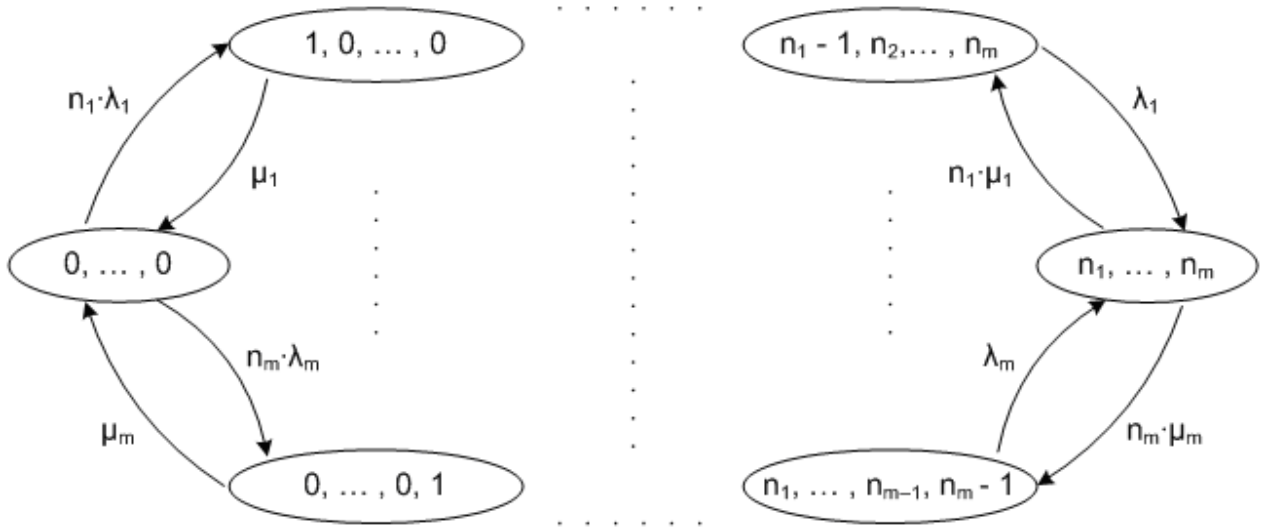
$$\lim_{t \rightarrow \infty} P_i(t) = C_n^i \cdot \frac{\rho^i}{(1+\rho)^n} \quad (1.2)$$

$$i = 0 \dots n$$

$$\rho = \lambda/\mu$$

#### 1.4. Марковская модель множества групп независимых объектов

Пусть имеется  $m$  независимых групп восстанавливаемых объектов с заданными количествами объектов в группах:  $n_1, \dots, n_m$ . Объекты внутри группы  $l=1 \dots m$  имеют одинаковые интенсивности отказов  $\lambda_l$  и одинаковые интенсивности восстановления  $\mu_l$ . Объекты могут независимо отказывать и независимо восстанавливаться без каких-либо ограничений. Тогда марковская модель надежности объекта:



Общее решение модели (системы дифференциальных уравнений) в аналитическом виде получается путем прямого произведения соответствующих вероятностей внутри отдельных групп (поскольку группы независимы с точки зрения модели надежности):

$$P_{j_1, \dots, j_m}(t) = \prod_{l=1}^m \left[ C_{n_l}^{j_l} \cdot \frac{\rho_l^{j_l}}{(1 + \rho_l)^{n_l}} \cdot \left(1 - e^{-\alpha_l \cdot t}\right)^{j_l} \cdot \left(1 + \rho_l \cdot e^{-\alpha_l \cdot t}\right)^{n_l - j_l} \right] \quad (1.3)$$

$j_l = 0 \dots n_l; \quad l = 1 \dots m$

$$\rho_l = \lambda_l / \mu_l; \quad \alpha_l = \lambda_l + \mu_l;$$

$$P_{0, \dots, 0}(0) = 1; \quad \sum_{j_1=0}^{n_1} \sum_{j_2=0}^{n_2} \dots \sum_{j_m=0}^{n_m} P_{j_1, \dots, j_m}(t) = 1;$$

При  $t \rightarrow \infty$  марковский процесс становится установившимся, и вероятности уже не меняются с течением времени:

$$\lim_{t \rightarrow \infty} \left( P_{j_1, \dots, j_m}(t) \right) = \prod_{l=1}^m \left[ C_{n_l}^{j_l} \cdot \frac{\rho_l^{j_l}}{(1 + \rho_l)^{n_l}} \right] \quad (1.4)$$

$j_l = 0 \dots n_l; \quad l = 1 \dots m$   
 $\rho_l = \lambda_l / \mu_l$

## 2. Анализ комплексных показателей надежности локальных сетей

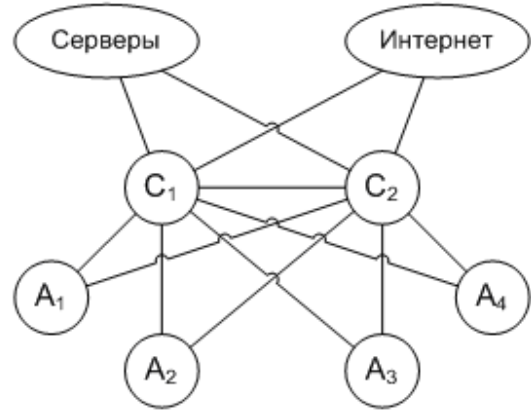
### 2.1. Двухуровневые локальные сети с выделенным ядром

- Сеть содержит  $r \geq 1$  коммутаторов ядра (Core) и  $k \geq 1$  коммутаторов доступа (Access).
- Серверы локальной сети и Интернет доступны через каждый коммутатор ядра.
- Коммутаторы ядра связаны между собой каждый с каждым. Коммутаторы доступа между собой не связаны, но они связаны с каждым коммутатором ядра.
- Отказ любого коммутатора доступа, также как и нарушение связи любого коммутатора доступа с серверами или Интернет, считается отказом всей сети целом.
- Коммутаторы ядра имеют интенсивность отказов  $\lambda_C$  и восстановления  $\mu_C$ , коммутаторы доступа имеют интенсивность отказов  $\lambda_A$  и восстановления  $\mu_A$ .

Двухуровневая сеть из  
 $r = 1$  коммутаторов ядра и  
 $k = 4$  коммутаторов доступа.



Двухуровневая сеть из  
 $r = 2$  коммутаторов ядра и  
 $k = 4$  коммутаторов доступа.



В двухуровневой сети можно выделить две независимые с точки зрения модели надежности группы объектов – группа коммутаторов ядра и группа коммутаторов доступа.

Что касается группы коммутаторов ядра, то поскольку каждый из них связан с каждым из коммутаторов доступа и каждый связан с серверами и Интернет, то сеть считается работоспособной при первом условии, что хотя бы один коммутатор в группе коммутаторов ядра работоспособен. Вероятность этого равна сумме вероятностей от нулевого состояния до предпоследнего состояния в марковской модели надежности группы из  $r$  объектов:

$$P_{core}(t) = \sum_{i=0}^{r-1} P_i(t) = 1 - P_r(t) = 1 - \frac{\rho_C^r}{(1 + \rho_C)^r} \cdot \left(1 - e^{-\alpha_C \cdot t}\right)^r$$

$$\rho_C = \lambda_C / \mu_C ; \quad \alpha_C = \lambda_C + \mu_C ;$$

Поскольку отказ любого коммутатора доступа считается отказом всей сети в целом, то очевидно, сеть считается работоспособной при втором условии, что все  $k$  коммутаторов в группе коммутаторов доступа работоспособны. Вероятность этого равна вероятности нулевого состояния в марковской модели надежности группы из  $k$  объектов:

$$P_{access}(t) = P_0(t) = \frac{1}{(1 + \rho_A)^k} \cdot \left(1 + \rho_A \cdot e^{-\alpha_A \cdot t}\right)^k$$

$$\rho_A = \lambda_A / \mu_A ; \quad \alpha_A = \lambda_A + \mu_A ;$$

Объединим оба условия работоспособности сети, перемножив их вероятности, и получим окончательную формулу для вероятности работоспособности двухуровневой сети в целом:

$$P_{net}(t) = \left( 1 - \left( \frac{\rho_C}{1 + \rho_C} \cdot \left( 1 - e^{-\alpha_C \cdot t} \right) \right)^r \right) \cdot \left( \frac{1 + \rho_A \cdot e^{-\alpha_A \cdot t}}{1 + \rho_A} \right)^k$$

Тогда, стационарный коэффициент готовности двухуровневой сети:

$$K_{net} = \lim_{t \rightarrow \infty} P_{net}(t) = \frac{(1 + \rho_C)^r - (\rho_C)^r}{(1 + \rho_C)^r \cdot (1 + \rho_A)^k} \quad (2)$$

**Пример.** Пусть имеется двухуровневая сеть из  $k = 6$  коммутаторов доступа и  $r = 1$  коммутатора ядра. С целью повышения отказоустойчивости сети был внедрен второй коммутатор ядра ( $r = 2$ ).

Интенсивность отказов коммутатора ядра  $\lambda_C = 1/8760$  часов<sup>-1</sup> (в среднем коммутатор отказывает раз в год), а интенсивность восстановления  $\mu_C = 1/24$  часов<sup>-1</sup> (в среднем восстановление коммутатора занимает одни сутки). Интенсивность отказов коммутатора доступа  $\lambda_A = 1/8760$  часов<sup>-1</sup> (в среднем коммутатор отказывает раз в год), а интенсивность восстановления  $\mu_A = 1$  часов<sup>-1</sup> (в среднем восстановление коммутатора занимает один час).

Оценить коэффициент готовности сети до и после ее модернизации.

**Решение.** Имеем  $\rho_C = \lambda_C / \mu_C = 1/365$  и  $\rho_A = \lambda_A / \mu_A = 1/8760$ .

Тогда коэффициент готовности до модернизации сети ( $r = 1, k = 6$ ) составит:

$$K_{net} = \frac{(1 + \rho_C)^1 - (\rho_C)^1}{(1 + \rho_C)^1 \cdot (1 + \rho_A)^6} = \frac{1}{(1 + 1/365)^1 \cdot (1 + 1/8760)^6} \approx 0,996585$$

А после модернизации сети ( $r = 2, k = 6$ ) коэффициент готовности составит:

$$K_{net} = \frac{(1 + \rho_C)^2 - (\rho_C)^2}{(1 + \rho_C)^2 \cdot (1 + \rho_A)^6} = \frac{1 + 2 \cdot \rho_C}{(1 + \rho_C)^2 \cdot (1 + \rho_A)^6} = \frac{1 + 2 \cdot (1/365)}{(1 + 1/365)^2 \cdot (1 + 1/8760)^6} \approx 0,999308$$

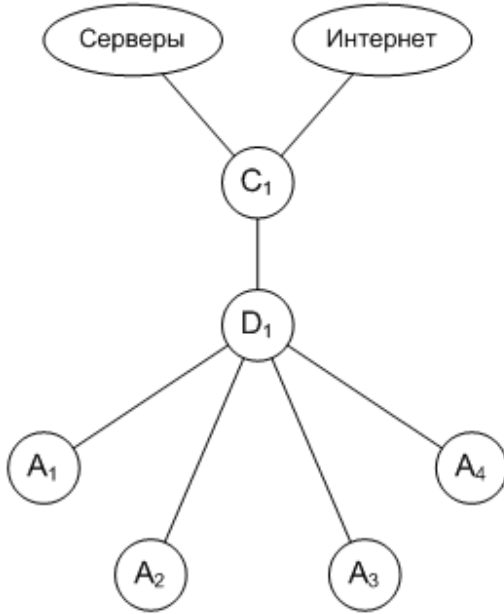
На первый взгляд прирост коэффициента готовности сети незначителен, но если оценить среднее количество часов недоступности сети в год (8760 часов) по формуле  $8760 \cdot (1 - K_{net})$ , то до модернизации имеем около **30 часов** недоступности в год, а после – около **6 часов** в год.

## 2.2. Трехуровневые локальные сети с ядром и одной подгруппой распределения

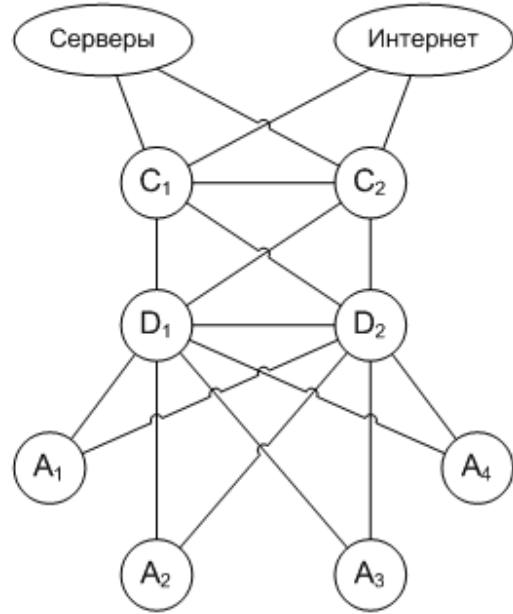
- Сеть содержит  $r \geq 1$  коммутаторов ядра (Core),  $s \geq 1$  коммутаторов распределения (Distribution) и  $k \geq 1$  коммутаторов уровня доступа (Access).
- Серверы локальной сети и Интернет доступны через каждый коммутатор ядра.
- Коммутаторы ядра и коммутаторы распределения связаны между собой каждый с каждым. Коммутаторы доступа между собой не связаны, но они связаны с каждым коммутатором распределения.
- Отказ любого коммутатора доступа, также как и нарушение связи любого коммутатора доступа с серверами или Интернет, считается отказом всей сети целом.

- Коммутаторы ядра имеют интенсивность отказов  $\lambda_C$  и восстановления  $\mu_C$ , коммутаторы распределения имеют интенсивность отказов  $\lambda_D$  и восстановления  $\mu_D$ , коммутаторы доступа имеют интенсивность отказов  $\lambda_A$  и восстановления  $\mu_A$ .

Трехуровневая сеть из  $r = 1$  коммутаторов ядра,  $s = 1$  коммутаторов распределения,  $k = 4$  коммутаторов уровня доступа.



Трехуровневая сеть из  $r = 2$  коммутаторов ядра,  $s = 2$  коммутаторов распределения,  $k = 4$  коммутаторов уровня доступа.



В трехуровневой сети можно выделить три независимые с точки зрения модели надежности группы объектов – группа коммутаторов ядра, группа коммутаторов распределения и группа коммутаторов уровня доступа.

Что касается группы коммутаторов ядра, то поскольку каждый из них связан с каждым коммутатором распределения и каждый связан с серверами и Интернет, то сеть считается работоспособной при первом условии, что хотя бы один коммутатор в группе коммутаторов ядра работоспособен. Вероятность этого равна сумме вероятностей от нулевого состояния до предпоследнего состояния в марковской модели надежности группы из  $r$  объектов:

$$P_{core}(t) = \sum_{i=0}^{r-1} P_i(t) = 1 - P_r(t) = 1 - \frac{\rho_C^r}{(1 + \rho_C)^r} \cdot \left(1 - e^{-\alpha_C \cdot t}\right)^r$$

$$\rho_C = \lambda_C / \mu_C ; \quad \alpha_C = \lambda_C + \mu_C ;$$

Что касается группы коммутаторов распределения, то поскольку каждый из них связан с каждым коммутатором ядра и с каждым коммутатором уровня доступа, то сеть считается работоспособной при втором условии, что хотя бы один коммутатор в группе коммутаторов распределения работоспособен. Вероятность этого равна сумме вероятностей от нулевого состояния до предпоследнего состояния в марковской модели надежности группы из  $s$  объектов:

$$P_{distrib}(t) = \sum_{i=0}^{s-1} P_i(t) = 1 - P_s(t) = 1 - \frac{\rho_D^s}{(1 + \rho_D)^s} \cdot \left(1 - e^{-\alpha_D \cdot t}\right)^s$$

$$\rho_D = \lambda_D / \mu_D ; \quad \alpha_D = \lambda_D + \mu_D ;$$

Наконец, поскольку отказ любого коммутатора доступа считается отказом всей сети в целом, то очевидно, сеть считается работоспособной при третьем условии, что все  $k$  коммутаторов в группе коммутаторов доступа работоспособны. Вероятность этого равна вероятности нулевого состояния в марковской модели надежности группы из  $k$  объектов:

$$P_{access}(t) = P_0(t) = \frac{1}{(1 + \rho_A)^k} \cdot \left(1 + \rho_A \cdot e^{-\alpha_A \cdot t}\right)^k$$

$$\rho_A = \lambda_A / \mu_A; \quad \alpha_A = \lambda_A + \mu_A;$$

Объединим три условия работоспособности сети, перемножив их вероятности, и получим окончательную формулу для вероятности работоспособности двухуровневой сети в целом:

$$P_{net}(t) = \left(1 - \left(\frac{\rho_C}{1 + \rho_C} \cdot \left(1 - e^{-\alpha_C \cdot t}\right)\right)^r\right) \cdot \left(1 - \left(\frac{\rho_D}{1 + \rho_D} \cdot \left(1 - e^{-\alpha_D \cdot t}\right)\right)^s\right) \cdot \left(\frac{1 + \rho_A \cdot e^{-\alpha_A \cdot t}}{1 + \rho_A}\right)^k$$

Тогда, стационарный коэффициент готовности трехуровневой сети:

$$K_{net} = \lim_{t \rightarrow \infty} P_{net}(t) = \frac{\left((1 + \rho_C)^r - (\rho_C)^r\right) \cdot \left((1 + \rho_D)^s - (\rho_D)^s\right)}{(1 + \rho_C)^r \cdot (1 + \rho_D)^s \cdot (1 + \rho_A)^k} \quad (3)$$

Пример. Пусть имеется двухуровневая сеть из  $k = 6$  коммутаторов доступа,  $s = 1$  коммутатора распределения и  $r = 1$  коммутатора ядра. С целью повышения отказоустойчивости сети был внедрен второй коммутатор ядра ( $r = 2$ ) и второй коммутатор распределения ( $s = 2$ ).

Интенсивность отказов коммутатора ядра  $\lambda_C = 1/8760$  часов<sup>-1</sup>, а интенсивность восстановления  $\mu_C = 1/24$  часов<sup>-1</sup>. Интенсивность отказов коммутатора распределения  $\lambda_D = 1/8760$  часов<sup>-1</sup>, а интенсивность восстановления  $\mu_D = 1/6$  часов<sup>-1</sup>. Интенсивность отказов коммутатора доступа  $\lambda_A = 1/8760$  часов<sup>-1</sup>, а интенсивность восстановления  $\mu_A = 1$  часов<sup>-1</sup>.

Оценить коэффициент готовности сети до и после ее модернизации.

Решение. Имеем  $\rho_C = \lambda_C / \mu_C = 1/365$ ,  $\rho_D = \lambda_D / \mu_D = 1/1460$  и  $\rho_A = \lambda_A / \mu_A = 1/8760$ .

Тогда коэффициент готовности до модернизации сети ( $r = 1, s = 1, k = 6$ ) составит:

$$K_{net} = \frac{1}{(1 + \rho_C)^1 \cdot (1 + \rho_D)^1 \cdot (1 + \rho_A)^6} = \frac{1}{(1 + 1/365)^1 \cdot (1 + 1/1460)^1 \cdot (1 + 1/8760)^6} \approx 0,995903$$

А после модернизации сети ( $r = 2, s = 2, k = 6$ ) коэффициент готовности составит:

$$K_{net} = \frac{(1 + 2 \cdot \rho_C) \cdot (1 + 2 \cdot \rho_D)}{(1 + \rho_C)^2 \cdot (1 + \rho_D)^2 \cdot (1 + \rho_A)^6} = \frac{(1 + 2 \cdot (1/365)) \cdot (1 + 2 \cdot (1/1460))}{(1 + 1/365)^2 \cdot (1 + 1/1460)^2 \cdot (1 + 1/8760)^6} \approx 0,999307$$

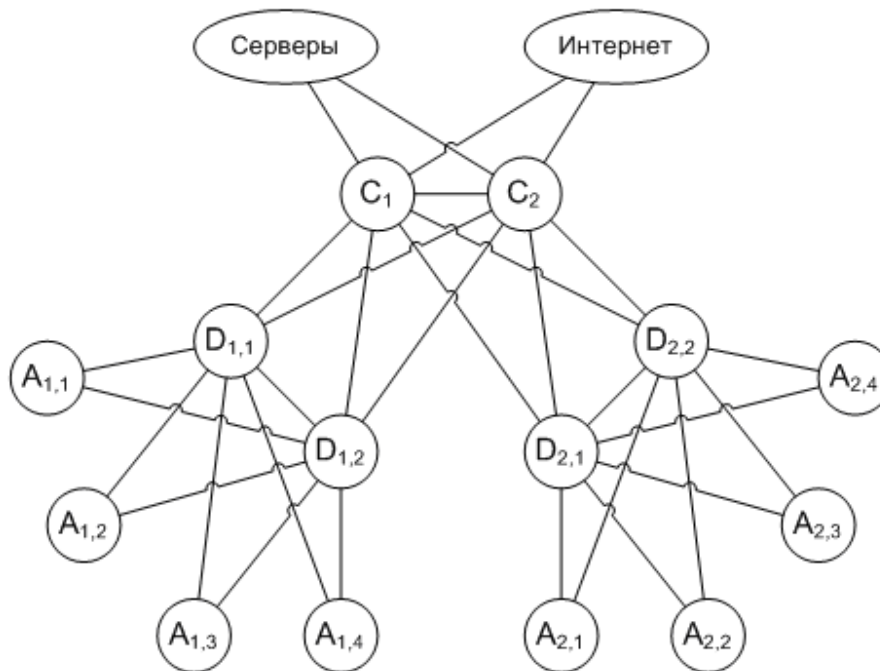
На первый взгляд прирост коэффициента готовности сети незначителен, но если оценить среднее количество часов недоступности сети в год (8760 часов) по формуле  $8760 \cdot (1 - K_{net})$ , то до модернизации имеем около **36 часов** недоступности в год, а после – около **6 часов** в год.



### 2.3. Трехуровневые локальные сети с ядром и с подгруппами распределения

- Сеть содержит  $r \geq 1$  коммутаторов ядра (Core), и  $m \geq 1$  подгрупп по  $s_j \geq 1$  коммутаторов распределения (Distribution) и по  $k_j \geq 1$  коммутаторов доступа (Access) в каждой.
- Серверы локальной сети и Интернет доступны через каждый коммутатор ядра. Коммутаторы ядра (Core) связаны между собой каждый с каждым.
- Коммутаторы распределения (Distribution) разбиты по подгруппам и внутри подгруппы связаны между собой каждый с каждым, а между подгруппами связей нет. Во всех подгруппах каждый коммутатор распределения связан с каждым коммутатором ядра.
- Коммутаторы доступа (Access) между собой не связаны, но распределены по подгруппам и связаны с каждым коммутатором распределения соответствующей подгруппы.
- Отказ любого коммутатора доступа, также как и нарушение связи любого коммутатора доступа с серверами или Интернет, считается отказом всей сети целом.
- Коммутаторы ядра имеют интенсивность отказов  $\lambda_C$  и восстановления  $\mu_C$ , коммутаторы распределения имеют интенсивность отказов  $\lambda_D$  и восстановления  $\mu_D$ , коммутаторы доступа имеют интенсивность отказов  $\lambda_A$  и восстановления  $\mu_A$ .

Трехуровневая сеть из  $r = 2$  коммутаторов ядра,  $m = 2$  подгрупп распределения,  $s_1 = 2$  коммутаторов распределения и  $k_1 = 4$  коммутаторов доступа в подгруппе 1,  $s_2 = 2$  коммутаторов распределения и  $k_2 = 4$  коммутаторов доступа подгруппе 2.



В трехуровневой сети можно выделить три независимые с точки зрения модели надежности группы объектов – группа коммутаторов ядра, группа коммутаторов распределения, содержащая  $m$  подгрупп коммутаторов распределения и группа коммутаторов уровня доступа, содержащая  $m$  подгрупп коммутаторов доступа. Кроме того, подгруппы между собой также независимы с точки зрения модели надежности.

Что касается группы коммутаторов ядра, то поскольку каждый из них связан с каждым с коммутатором распределения каждой из подгрупп, а также связан с серверами и Интернет, то сеть считается работоспособной при первом условии, что хотя бы один коммутатор в группе коммутаторов ядра работоспособен. Вероятность этого равна сумме вероятностей от нулевого состояния до предпоследнего состояния в марковской модели надежности группы из  $r$  объектов:

$$P_{core}(t) = \sum_{i=0}^{r-1} P_i(t) = 1 - P_r(t) = 1 - \frac{\rho_c^r}{(1 + \rho_c)^r} \cdot \left(1 - e^{-\alpha_c \cdot t}\right)^r$$

$$\rho_c = \lambda_c / \mu_c ; \quad \alpha_c = \lambda_c + \mu_c ;$$

Что касается группы коммутаторов распределения, то поскольку в каждой подгруппе каждый коммутатор распределения с каждым с коммутатором ядра и с каждым коммутатором уровня доступа соответствующей подгруппы, то сеть считается работоспособной при втором условии, что хотя бы один коммутатор в каждой подгруппе коммутаторов распределения работоспособен. Вероятность этого равна произведению по всем подгруппам  $l = 1 \dots m$  вероятностей того, что в подгруппе хотя бы один коммутатор распределения работоспособен, каждая из которых, в свою очередь, равна сумме вероятностей от нулевого состояния до предпоследнего состояния в марковской модели надежности подгруппы из  $s_l$  объектов:

$$P_{distrib}(t) = \prod_{l=1}^m \left( \sum_{i=0}^{s_l-1} P_i(t) \right) = \prod_{l=1}^m \left( 1 - P_{s_l}(t) \right) = \prod_{l=1}^m \left( 1 - \frac{\rho_D^{s_l}}{(1 + \rho_D)^{s_l}} \cdot \left(1 - e^{-\alpha_D \cdot t}\right)^{s_l} \right)$$

$$\rho_D = \lambda_D / \mu_D ; \quad \alpha_D = \lambda_D + \mu_D ;$$

Наконец, поскольку отказ любого коммутатора доступа считается отказом всей сети в целом, то очевидно, сеть считается работоспособной при третьем условии, что все коммутаторы во всех подгруппах коммутаторов доступа работоспособны. Вероятность этого равна произведению по всем подгруппам  $l = 1 \dots m$  вероятностей нулевого состояния в марковской модели надежности подгруппы из  $k_l$  объектов:

$$P_{access}(t) = \prod_{l=1}^m \left( P_0(t) \right) = \prod_{l=1}^m \left( \frac{1}{(1 + \rho_A)^{k_l}} \cdot \left(1 + \rho_A \cdot e^{-\alpha_A \cdot t}\right)^{k_l} \right)$$

$$\rho_A = \lambda_A / \mu_A ; \quad \alpha_A = \lambda_A + \mu_A ;$$

Объединим три условия работоспособности сети, перемножив их вероятности, и получим окончательную формулу для вероятности работоспособности двухуровневой сети в целом:

$$P_{net}(t) = \left( 1 - \left( \frac{\rho_c}{1 + \rho_c} \cdot \left(1 - e^{-\alpha_c \cdot t}\right) \right)^r \right) \cdot \prod_{l=1}^m \left( \left( 1 - \left( \frac{\rho_D}{1 + \rho_D} \cdot \left(1 - e^{-\alpha_D \cdot t}\right) \right)^{s_l} \right) \cdot \left( \frac{1 + \rho_A \cdot e^{-\alpha_A \cdot t}}{1 + \rho_A} \right)^{k_l} \right)$$

Тогда, стационарный коэффициент готовности трехуровневой сети:

$$K_{net} = \lim_{t \rightarrow \infty} P_{net}(t) = \frac{\left( (1 + \rho_c)^r - (\rho_c)^r \right)}{(1 + \rho_c)^r} \cdot \prod_{l=1}^m \left( \frac{\left( (1 + \rho_D)^{s_l} - (\rho_D)^{s_l} \right)}{(1 + \rho_D)^{s_l} \cdot (1 + \rho_A)^{k_l}} \right) \quad (4)$$

Пример. Пусть имеется трехуровневая сеть с одним коммутатором ядра ( $r = 1$ ), с тремя подгруппами ( $m = 3$ ) распределения по 1 коммутатору распределения ( $s_1 = 1, s_2 = 1, s_3 = 1$ ), и по 2 коммутатора доступа ( $k_1 = 2, k_2 = 2, k_3 = 2$ ) в каждой подгруппе.

С целью повышения отказоустойчивости сети были внедрены 2-й коммутатор ядра ( $r = 2$ ) и 2-й коммутатор распределения в каждую из подгрупп ( $s_1 = 2, s_2 = 2, s_3 = 2$ ).

Интенсивность отказов коммутатора ядра  $\lambda_C = 1/8760$  часов<sup>-1</sup>, а интенсивность восстановления  $\mu_C = 1/24$  часов<sup>-1</sup>. Интенсивность отказов коммутатора распределения  $\lambda_D = 1/8760$  часов<sup>-1</sup>, а интенсивность восстановления  $\mu_D = 1/6$  часов<sup>-1</sup>. Интенсивность отказов коммутатора доступа  $\lambda_A = 1/8760$  часов<sup>-1</sup>, а интенсивность восстановления  $\mu_A = 1$  часов<sup>-1</sup>.

Оценить коэффициент готовности сети до и после ее модернизации.

Решение. Имеем  $\rho_C = \lambda_C / \mu_C = 1/365$ ,  $\rho_D = \lambda_D / \mu_D = 1/1460$  и  $\rho_A = \lambda_A / \mu_A = 1/8760$ .

Коэффициент готовности до модернизации ( $r = 1, m = 3, s_1 = s_2 = s_3 = 1, k_1 = k_2 = k_3 = 2$ ):

$$K_{net} = \frac{1}{(1 + \rho_C)^1} \cdot \left( \frac{1}{(1 + \rho_D)^1 \cdot (1 + \rho_A)^2} \right)^3 = \frac{1}{(1 + 1/365)^1 \cdot (1 + 1/1460)^3 \cdot (1 + 1/8760)^6} \approx 0,99454$$

Коэффициент готовности после модернизации ( $r = 2, m = 3, s_1 = s_2 = s_3 = 2, k_1 = k_2 = k_3 = 2$ ):

$$K_{net} = \frac{1 + 2 \cdot \rho_C}{(1 + \rho_C)^2} \cdot \left( \frac{1 + 2 \cdot \rho_D}{(1 + \rho_D)^2 \cdot (1 + \rho_A)^2} \right)^3 = \frac{(1 + 2/365)^1 \cdot (1 + 2/1460)^3}{(1 + 1/365)^2 \cdot (1 + 1/1460)^6 \cdot (1 + 1/8760)^6} \approx 0,999306$$

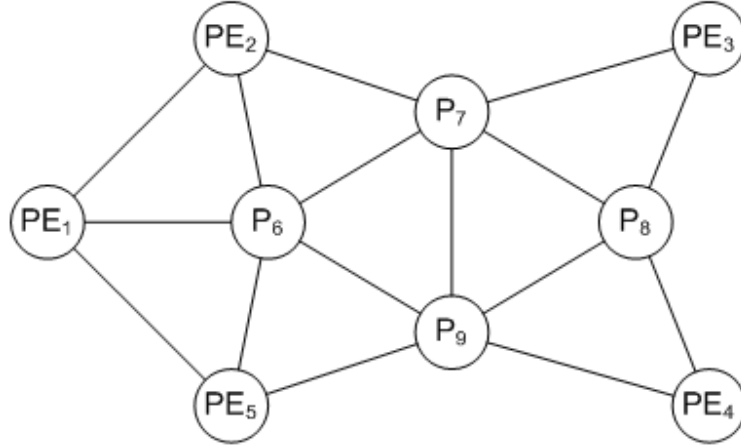
На первый взгляд прирост коэффициента готовности сети незначителен, но если оценить среднее количество часов недоступности сети в год (8760 часов) по формуле  $8760 \cdot (1 - K_{net})$ , то до модернизации имеем около **48 часов** недоступности в год, а после – около **6 часов** в год.

### 3. Анализ показателей надежности магистральных сетей

#### 3.1. Двухуровневые магистральные сети провайдеров с заданной топологией

- Магистральная сеть содержит  $n \geq 1$  коммутаторов, в том числе  $r \geq 1$  опорных коммутаторов провайдера (**P**) и  $n - r \geq 1$  граничных коммутаторов провайдера (**PE**).
- Используется единая нумерация коммутаторов сети. Множество всех коммутаторов нумеруется числами из множества  $V = \{1, \dots, n\}$ . Подмножество опорных коммутаторов нумеруется числами из подмножества  $PV = \{n - r + 1, \dots, n\}$  множества  $V$ .
- Связи между коммутаторами задаются при помощи списка  $L = \{(i, j)\}, i = 1 \dots n, j = 1 \dots n$  пар номеров связанных коммутаторов. Связи между коммутаторами симметричные.
- Отказ любого граничного коммутатора, также как и нарушение связи любого граничного коммутатора с любым другим граничным коммутатором, считается отказом всей магистральной сети провайдера в целом.
- Опорные коммутаторы имеют интенсивность отказов  $\lambda_P$  и восстановления  $\mu_P$ , граничные коммутаторы имеют интенсивность отказов  $\lambda_{PE}$  и восстановления  $\mu_{PE}$ .

Двухуровневая магистральная сеть из  $n = 9$  коммутаторов, в том числе  $r = 4$  опорных коммутаторов провайдера (P) и  $n - r = 5$  граничных коммутаторов провайдера (PE).



В двухуровневой магистральной сети можно выделить две независимые с точки зрения модели надежности группы объектов – группа опорных коммутаторов (P) и группа граничных коммутаторов (PE) магистральной сети провайдера.

Поскольку отказ любого граничного коммутатора считается отказом всей магистральной сети в целом, то очевидно, сеть считается работоспособной при первом условии, что все  $n - r$  коммутаторов в группе граничных коммутаторов работоспособны. Вероятность этого равна вероятности нулевого состояния в марковской модели надежности группы из  $n - r$  объектов:

$$P_{edge}(t) = \frac{1}{(1 + \rho_{PE})^{n-r}} \cdot \left(1 + \rho_{PE} \cdot e^{-\alpha_{PE} \cdot t}\right)^{n-r}$$

$$\rho_{PE} = \lambda_{PE} / \mu_{PE} ; \quad \alpha_{PE} = \lambda_{PE} + \mu_{PE} ;$$

Что касается отказов опорных коммутаторов, здесь следует особо учитывать то, что при определенных сочетаниях отказов опорных коммутаторов граничные коммутаторы сохраняют связность, а при других сочетаниях – нет. Связность граничных коммутаторов полностью определяется топологией связей между коммутаторами и сочетанием отказов опорных коммутаторов. Общее число сочетаний для  $q = 0 \dots r$  отказавших из  $r$  опорных коммутаторов определяется при помощи биномиального коэффициента  $C_r^q$ . Из них только при некотором

числе  $\psi_q \leq C_r^q$  сочетаний граничные коммутаторы сохраняют связность. Как определить неизвестные коэффициенты  $\psi_0, \dots, \psi_r$  мы рассмотрим ниже, а пока продолжим анализ вероятностей отказов в группе опорных коммутаторов. Вероятность отказа ровно  $q$  коммутаторов среди  $r$  опорных коммутаторов определяется по формуле:

$$P_q(t) = C_r^q \cdot \frac{(\rho_P)^q}{(1 + \rho_P)^r} \cdot \left(1 - e^{-\alpha_P \cdot t}\right)^q \cdot \left(1 + \rho_P \cdot e^{-\alpha_P \cdot t}\right)^{r-q}$$

$$q = 0 \dots r$$

$$\rho_P = \lambda_P / \mu_P ; \quad \alpha_P = \lambda_P + \mu_P ;$$

Заметим, что в формуле учитываются всевозможные сочетания отказов  $q$  из  $r$  опорных коммутаторов. Чтобы, учитывать только те сочетания, при котором граничные коммутаторы сохраняют связность достаточно заменить биномиальные коэффициенты  $C_r^0 \dots C_r^r$ , на введенные нами коэффициенты  $\psi_0, \dots, \psi_r$ , выполняющих роль «счетчика работоспособных сочетаний» для каждого  $q = 0 \dots r$ , причем  $0 \leq \psi_q \leq C_r^q$ .

Наконец, чтобы учесть различные конфигурации отказов для каждого  $q = 0 \dots r$ , нам необходимо просуммировать соответствующие вероятности для  $q = 0 \dots r$ . В итоге получаем вероятность для второго условия работоспособности сети:

$$P_{core}(t) = \frac{1}{(1 + \rho_P)^r} \cdot \sum_{q=0}^r \left( \psi_q \cdot (\rho_P)^q \cdot \left(1 - e^{-\alpha_P \cdot t}\right)^q \cdot \left(1 + \rho_P \cdot e^{-\alpha_P \cdot t}\right)^{r-q} \right)$$

$$\rho_P = \lambda_P / \mu_P ; \quad \alpha_P = \lambda_P + \mu_P ;$$

Объединим оба условия работоспособности сети, перемножив их вероятности, и получим окончательную формулу для вероятности работоспособности магистральной сети в целом:

$$P_{net}(t) = \frac{\left(1 + \rho_{PE} \cdot e^{-\alpha_{PE} \cdot t}\right)^{n-r}}{(1 + \rho_P)^r \cdot (1 + \rho_{PE})^{n-r}} \cdot \sum_{q=0}^r \left( \psi_q \cdot (\rho_P)^q \cdot \left(1 - e^{-\alpha_P \cdot t}\right)^q \cdot \left(1 + \rho_P \cdot e^{-\alpha_P \cdot t}\right)^{r-q} \right)$$

$$\rho_P = \lambda_P / \mu_P ; \quad \alpha_P = \lambda_P + \mu_P ; \quad \rho_{PE} = \lambda_{PE} / \mu_{PE} ; \quad \alpha_{PE} = \lambda_{PE} + \mu_{PE} ;$$

Тогда, стационарный коэффициент готовности магистральной сети:

$$K_{net} = \lim_{t \rightarrow \infty} P_{net}(t) = \frac{1}{(1 + \rho_P)^r \cdot (1 + \rho_{PE})^{n-r}} \cdot \sum_{q=0}^r \left( \psi_q \cdot (\rho_P)^q \right) \quad (5)$$

$$\rho_P = \lambda_P / \mu_P ; \quad \rho_{PE} = \lambda_{PE} / \mu_{PE} ;$$

Теперь же вернемся к вопросу определения неизвестных коэффициентов  $\psi_0, \dots, \psi_r$ , указывающих на количество сочетаний отказов  $q$  из  $r$  опорных коммутаторов, при которых граничные коммутаторы сохраняют связность, для каждого  $q = 0 \dots r$ .

Чтобы подсчитать коэффициент  $\psi_q$  при конкретном  $q$  необходимо проанализировать взаимную достижимость граничных узлов при каждом сочетании отказов  $q$  из  $r$  опорных коммутаторов. Для этого нам необходимо рассчитывать матрицу достижимости коммутаторов для каждого конкретного сочетания отказа с учетом топологии связей, а для этого, в свою очередь, нам потребуется матрица смежности магистральной сети.

Матрица смежности  $A$  вычисляется по заданному списку  $L$  пар связанных коммутаторов с номерами  $i = 1 \dots n$  и  $j = 1 \dots n$  следующим образом:

$$A_{ij} = \begin{cases} 1, & (i, j) \in L \vee (j, i) \in L \\ 0, & (i, j) \notin L \wedge (j, i) \notin L \end{cases}$$

$$i = 1 \dots n \quad j = 1 \dots n$$

Матрица смежности  $A$  является булевой и симметрична относительно главной диагонали, поскольку связи между коммутаторами симметричны (двусторонние).

Матрица достижимости  $R$  для заданной матрицы смежности  $A$  без учета отказов опорных коммутаторов вычисляется по рекуррентной схеме, основанной на алгоритме нахождения транзитивного замыкания для бинарного отношения. В качестве начальной матрицы достижимости  $R_{ij}^{(0)}$  принимается сама матрица смежности  $A_{ij}$ :

$$\begin{cases} R_{ij}^{(0)} = A_{ij} \\ i = 1 \dots n \quad j = 1 \dots n \end{cases} \quad s = 1 \dots n$$

$$\left\{ R_{ij}^{(s)} = R_{ij}^{(s-1)} \vee \left( R_{is}^{(s-1)} \wedge R_{sj}^{(s-1)} \right) \right\} \Rightarrow \begin{cases} R_{ij} = R_{ij}^{(n)} \\ i = 1 \dots n \quad j = 1 \dots n \end{cases}$$

Теперь обозначим конкретное сочетание отказов  $q$  из  $r$  опорных коммутаторов как  $FV \subseteq PV$ , являющееся подмножеством множества опорных коммутаторов  $PV$ . Очевидно, что  $|FV| = q$ . Тогда, для учета конкретного сочетания отказов  $FV$  в рекуррентной схеме вычисления матрицы достижимости  $R$  в качестве начальной матрицы достижимости  $R_{ij}^{(0)}$  принимается матрица смежности  $A_{ij}$  с обнуленными строками и столбцами, имеющими номера, входящие в рассматриваемое сочетание отказов  $FV$ :

$$R_{ij}^{(0)} = \begin{cases} A_{ij}, & i \notin FV \wedge j \notin FV \\ 0, & i \in FV \vee j \in FV \end{cases} \quad i = 1 \dots n \quad j = 1 \dots n$$

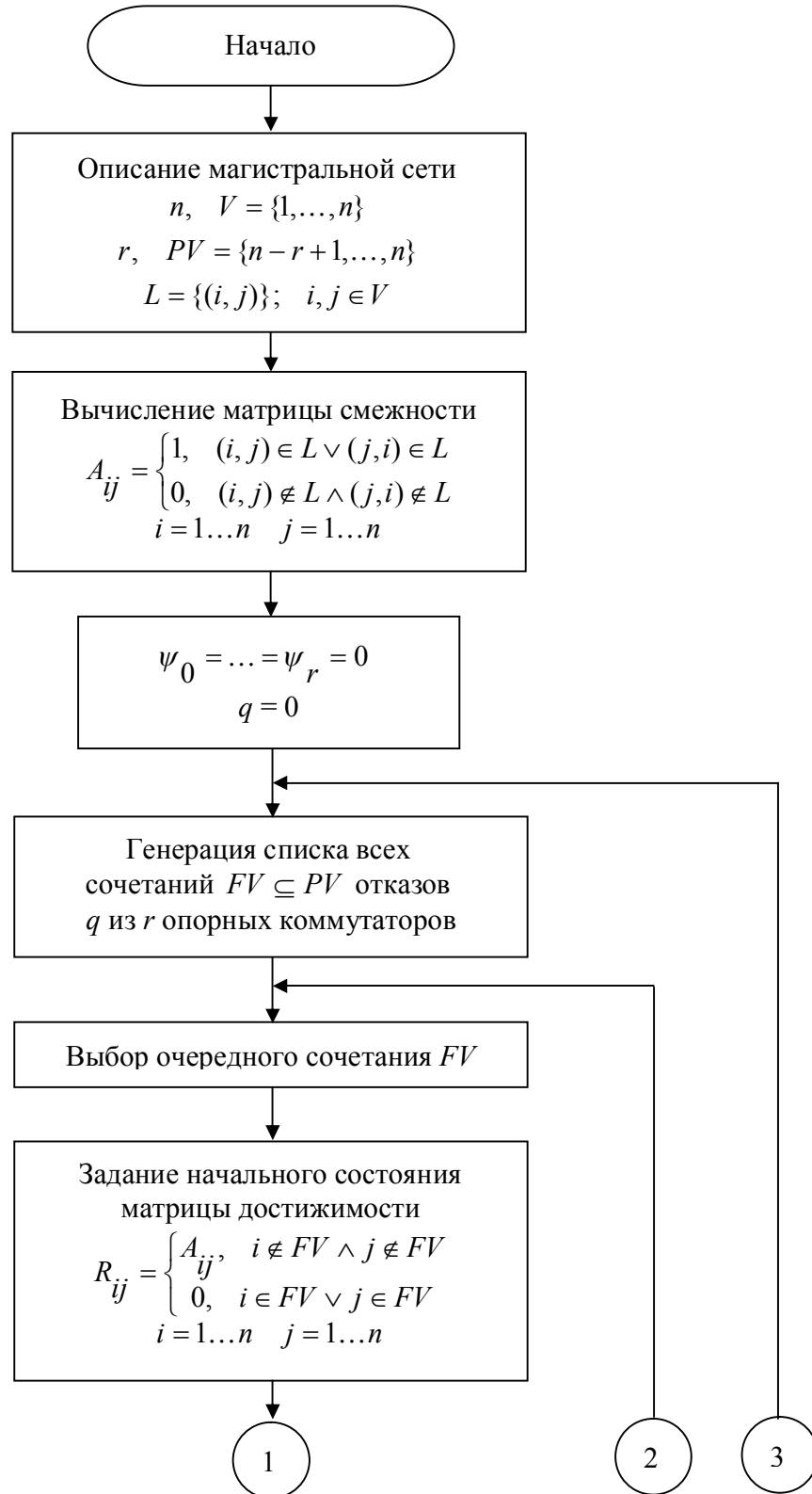
Тогда, для определения связности граничных коммутаторов при конкретном сочетании отказов  $FV$  достаточно проанализировать соответствующую матрицу достижимости  $R$ , вычисленную для рассматриваемого сочетания отказов  $FV$ , и убедиться в том, что от любого коммутатора, не являющегося опорным, достигим любой другой коммутатор, также не являющийся опорным. Очевидно, что данное условие выполняется, только когда  $\forall i \notin PE \ \& \ \forall j \notin PE \ \& \ (i \neq j) \Rightarrow R_{ij} = 1$ . Введем индикатор связности граничных коммутаторов и обозначим его как  $W$ , который равен 1, если условие выполняется, и равен 0, если нет. Тогда, индикатор связности  $W$  граничных коммутаторов может быть вычислен по формуле:

$$W = \bigwedge_{i=1}^n \bigwedge_{\substack{j=1 \\ i \notin PV \ j \notin PV; j \neq i}}^n R_{ij}$$

Тогда, перебрав все сочетания  $FV \subseteq PV$  отказов  $q$  из  $r$  опорных коммутаторов для конкретного  $q$ , и вычисляя для каждого сочетания отказов  $FV$  индикатор связности  $W$  граничных коммутаторов, и подсчитывая число сочетаний, при которых  $W = 1$ , мы найдем искомый коэффициент  $\psi_q$ .

Наконец, выполнив данную процедуру для каждого  $q = 0 \dots r$ , мы найдем все коэффициенты  $\psi_0, \dots, \psi_r$ . Также особо отметим, что если для какого-либо  $q^* < r$  мы получаем коэффициент  $\psi_{q^*} = 0$ , то, очевидно, все остальные коэффициенты  $\psi_q$  при  $q = q^* + 1 \dots r$  также будут равны нулю, и мы можем досрочно завершить алгоритм, приняв  $\psi_{q^*+1} = \dots = \psi_r = 0$ .

Подводя итог ко всему вышесказанному, приведем схему алгоритма (рис. 1) вычисления коэффициентов  $\psi_0, \dots, \psi_r$ , обозначающих для каждого  $q = 0 \dots r$  количество сочетаний отказов  $q$  из  $r$  опорных коммутаторов, при которых сохраняется связность граничных коммутаторов.



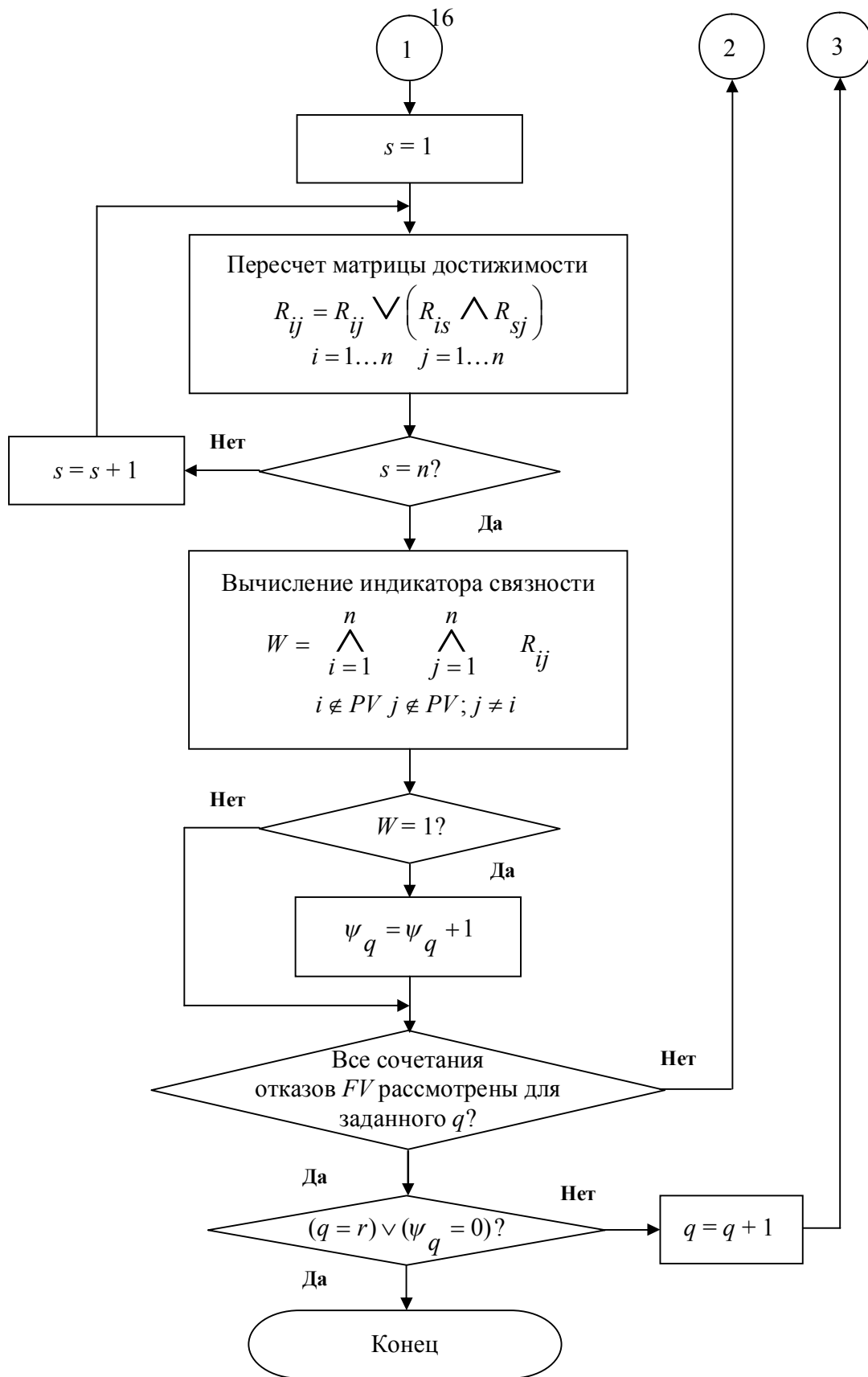
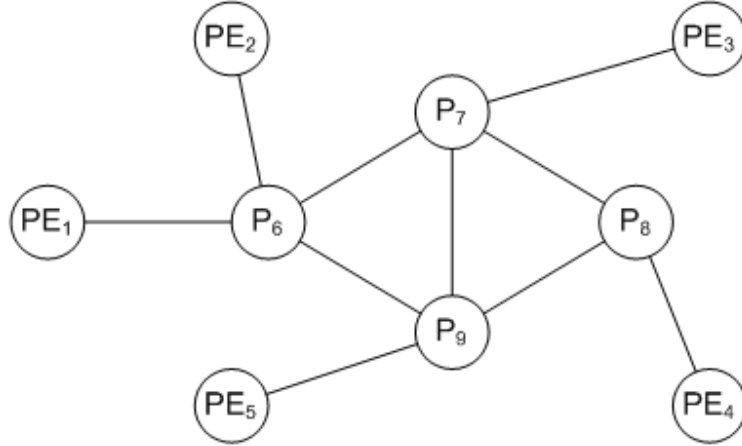


Рис. 1. Схема алгоритма вычисления коэффициентов  $\psi_0, \dots, \psi_r$ .



**Частный случай 1.** Топология связей  $L$  такова, что связность граничных коммутаторов **PE** сохраняется только при работе всех опорных коммутаторов **P**. Пример такой топологии:

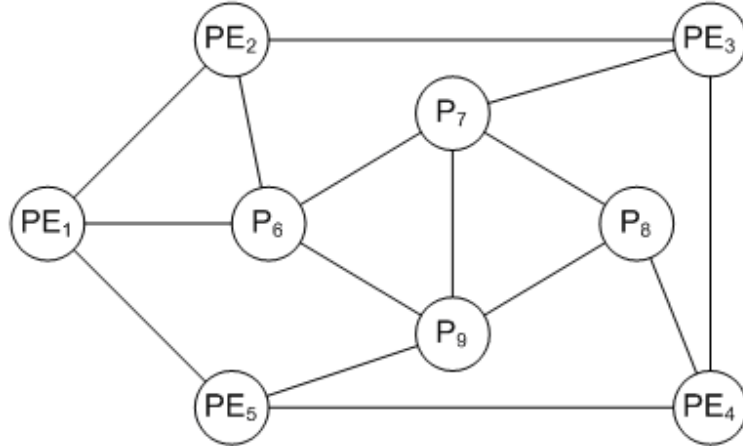


Очевидно, что при такой топологии граничные коммутаторы сохраняют связность только при единственном пустом сочетании  $FV = \{\}$  отказов опорных коммутаторов при  $q = 0$ . Во всех остальных случаях при любом сочетании отказов при любом  $q = 1 \dots r$  связность нарушается. Тогда, очевидно, что только коэффициент  $\psi_0 = 1$ , а остальные  $\psi_1 = 0, \dots, \psi_r = 0$ .

Соответственно, коэффициент готовности такой магистральной сети, учитывая что

$$\sum_{q=0}^r \left( \psi_q \cdot (\rho_P)^q \right) = \psi_0 \cdot (\rho_P)^0 = 1, \text{ определяется по формуле: } K_{net} = \frac{1}{(1 + \rho_P)^r \cdot (1 + \rho_{PE})^{n-r}}.$$

**Частный случай 2.** Топология связей  $L$  такова, что связность граничных коммутаторов **PE** сохраняется даже при отказе всех опорных коммутаторов **P**. Пример такой топологии:



Очевидно, что при такой топологии граничные коммутаторы сохраняют связность при любых сочетаниях  $FV$  отказов  $q$  из  $r$  опорных коммутаторов для всех  $q = 0 \dots r$ . Количество таких сочетаний для конкретного  $q$  вычисляется при помощи биномиального коэффициента.

Тогда, очевидно, что коэффициенты  $\psi_q = C_r^q$ ,  $q = 0 \dots r$ .

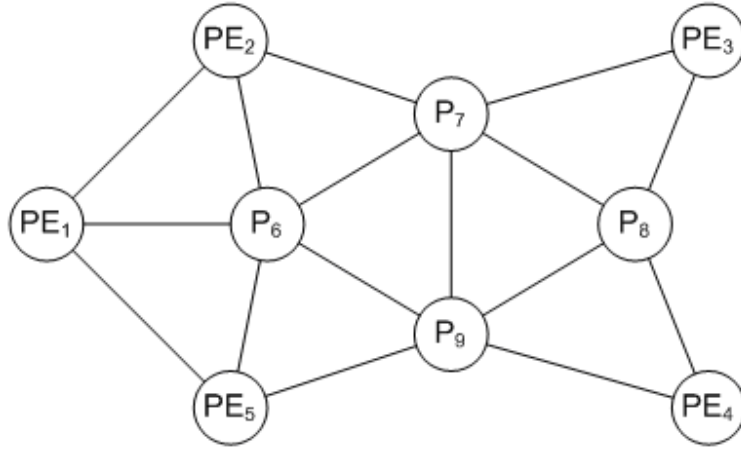
Тогда коэффициент готовности такой магистральной сети, учитывая, что

$$\sum_{q=0}^r \left( C_r^q \cdot (\rho_P)^q \right) = (1 + \rho_P)^r, \text{ определяется по формуле: } K_{net} = \frac{1}{(1 + \rho_{PE})^{n-r}}.$$

Пример. Задана двухуровневая магистральная сеть провайдера, содержащая  $n = 9$  коммутаторов  $V = \{1, 2, 3, 4, 5, 6, 7, 8, 9\}$ , в том числе  $r = 4$  опорных коммутаторов  $PV = \{6, 7, 8, 9\}$ .

Топология связей задана при помощи списка пар связанных между собой коммутаторов:  $L = \{(1, 2), (1, 5), (1, 6), (2, 6), (2, 7), (3, 7), (3, 8), (4, 8), (4, 9), (5, 6), (5, 9), (6, 7), (6, 9), (7, 8), (7, 9), (8, 9)\}$ .

Для наглядности также приведем графическую схему магистральной сети.



Опорные коммутаторы (**P**) имеют интенсивность отказов  $\lambda_p = 1/8760$  часов<sup>-1</sup> и восстановления  $\mu_p = 1/3$  часов<sup>-1</sup>, граничные коммутаторы (**PE**) имеют интенсивность отказов  $\lambda_{pe} = 1/8760$  часов<sup>-1</sup> и восстановления  $\mu_{pe} = 1$  часов<sup>-1</sup>.

Определить коэффициент готовности магистральной сети.

Решение. Сначала выполним наиболее трудоемкую часть задачи – найдем коэффициенты  $\psi_0, \dots, \psi_4$  для определения количества сочетаний отказов  $q$  из 4 опорных коммутаторов, при которых сохраняется связность граничных коммутаторов, для каждого  $q = 0 \dots 4$ .

Согласно алгоритму (рис. 1.) определяем матрицу смежности по заданному количеству коммутаторов  $n$  и топологии связей  $L$ , и получаем:

$$A := \begin{bmatrix} 0 & 1 & 0 & 0 & 1 & 1 & 0 & 0 & 0 \\ 1 & 0 & 0 & 0 & 0 & 1 & 1 & 0 & 0 \\ 0 & 0 & 0 & 0 & 0 & 0 & 1 & 1 & 0 \\ 0 & 0 & 0 & 0 & 0 & 0 & 0 & 1 & 1 \\ 1 & 0 & 0 & 0 & 0 & 1 & 0 & 0 & 1 \\ 1 & 1 & 0 & 0 & 1 & 0 & 1 & 0 & 1 \\ 0 & 1 & 1 & 0 & 0 & 1 & 0 & 1 & 1 \\ 0 & 0 & 1 & 1 & 0 & 0 & 1 & 0 & 1 \\ 0 & 0 & 0 & 1 & 1 & 1 & 1 & 1 & 0 \end{bmatrix}$$

Теперь для каждого  $q = 0 \dots 4$  генерируем все сочетания  $FV \subseteq PV = \{6, 7, 8, 9\}$  отказов  $q$  из 4 опорных коммутаторов, и для каждого сочетания  $FV$  строим матрицу достижимости  $R$  по матрице смежности  $A$  и по сочетанию  $FV$ , вычисляем индикатор связности  $W$  по матрице достижимости  $R$  и подмножеству опорных коммутаторов  $PV$ , и подсчитываем количество сочетаний, при которых  $W = 1$ , это количество и будет искомым коэффициентом  $\psi_q$ .

При  $q = 0$  имеем единственное вырожденное сочетание отказов  $FV = \{\}$ . В этом случае, в качестве начального состояния матрицы достижимости принимается матрица смежности  $A$  в неизменном виде, и далее по рекуррентной схеме вычисляется матрица достижимости:

$$R := \begin{bmatrix} 1 & 1 & 1 & 1 & 1 & 1 & 1 & 1 & 1 \\ 1 & 1 & 1 & 1 & 1 & 1 & 1 & 1 & 1 \\ 1 & 1 & 1 & 1 & 1 & 1 & 1 & 1 & 1 \\ 1 & 1 & 1 & 1 & 1 & 1 & 1 & 1 & 1 \\ 1 & 1 & 1 & 1 & 1 & 1 & 1 & 1 & 1 \\ 1 & 1 & 1 & 1 & 1 & 1 & 1 & 1 & 1 \\ 1 & 1 & 1 & 1 & 1 & 1 & 1 & 1 & 1 \\ 1 & 1 & 1 & 1 & 1 & 1 & 1 & 1 & 1 \\ 1 & 1 & 1 & 1 & 1 & 1 & 1 & 1 & 1 \end{bmatrix}$$

Из полученной матрицы достижимости, очевидно, что все коммутаторы (в том числе и граничные) достижимы друг для друга. Соответственно, индикатор связности граничных коммутаторов, который, учитывая, что  $PV = \{6, 7, 8, 9\}$ , определяется по угловой подматрице

$$\text{достижимости } R_{ij}, i=1\dots 5, j=1\dots 5, \text{ равен: } W = \bigwedge_{i=1}^9 \bigwedge_{j=1}^9 R_{ij} = \bigwedge_{i=1}^5 \bigwedge_{j=1; j \neq i}^5 R_{ij} = 1.$$

$i \notin PV, j \notin PV; j \neq i$

Поскольку вырожденное сочетание отказов единственное и при нем индикатор связности равен  $W = 1$ , то, очевидно,  $\psi_0 = 1$ .

При  $q = 1$  имеем  $C_4^1 = 4$  сочетания  $FV = \{6\}, FV = \{7\}, FV = \{8\}, FV = \{9\}$  отказов 1 из 4 опорных коммутаторов. Для каждого сочетания вычисляем матрицу достижимости, принимая в качестве начальной матрицы достижимости матрицу смежности  $A$  с обнуленными строками и столбцами, имеющими номера, входящие в сочетание  $FV$ .

В результате вычислений получаем 4 матрицы достижимости:

$$R := \begin{bmatrix} 1 & 1 & 1 & 1 & 1 & 0 & 1 & 1 & 1 \\ 1 & 1 & 1 & 1 & 1 & 0 & 1 & 1 & 1 \\ 1 & 1 & 1 & 1 & 1 & 0 & 1 & 1 & 1 \\ 1 & 1 & 1 & 1 & 1 & 0 & 1 & 1 & 1 \\ 1 & 1 & 1 & 1 & 1 & 0 & 1 & 1 & 1 \\ 0 & 0 & 0 & 0 & 0 & 0 & 0 & 0 & 0 \\ 1 & 1 & 1 & 1 & 1 & 0 & 1 & 1 & 1 \\ 1 & 1 & 1 & 1 & 1 & 0 & 1 & 1 & 1 \\ 1 & 1 & 1 & 1 & 1 & 0 & 1 & 1 & 1 \end{bmatrix} \quad R := \begin{bmatrix} 1 & 1 & 1 & 1 & 1 & 1 & 0 & 1 & 1 \\ 1 & 1 & 1 & 1 & 1 & 1 & 0 & 1 & 1 \\ 1 & 1 & 1 & 1 & 1 & 1 & 0 & 1 & 1 \\ 1 & 1 & 1 & 1 & 1 & 1 & 0 & 1 & 1 \\ 1 & 1 & 1 & 1 & 1 & 1 & 0 & 1 & 1 \\ 1 & 1 & 1 & 1 & 1 & 1 & 0 & 1 & 1 \\ 0 & 0 & 0 & 0 & 0 & 0 & 0 & 0 & 0 \\ 1 & 1 & 1 & 1 & 1 & 1 & 0 & 1 & 1 \\ 1 & 1 & 1 & 1 & 1 & 1 & 0 & 1 & 1 \\ 1 & 1 & 1 & 1 & 1 & 1 & 0 & 1 & 1 \end{bmatrix} \quad R := \begin{bmatrix} 1 & 1 & 1 & 1 & 1 & 1 & 1 & 0 & 1 \\ 1 & 1 & 1 & 1 & 1 & 1 & 1 & 0 & 1 \\ 1 & 1 & 1 & 1 & 1 & 1 & 1 & 0 & 1 \\ 1 & 1 & 1 & 1 & 1 & 1 & 1 & 0 & 1 \\ 1 & 1 & 1 & 1 & 1 & 1 & 1 & 0 & 1 \\ 1 & 1 & 1 & 1 & 1 & 1 & 1 & 0 & 1 \\ 1 & 1 & 1 & 1 & 1 & 1 & 1 & 0 & 1 \\ 0 & 0 & 0 & 0 & 0 & 0 & 0 & 0 & 0 \\ 1 & 1 & 1 & 1 & 1 & 1 & 1 & 0 & 1 \\ 1 & 1 & 1 & 1 & 1 & 1 & 1 & 0 & 1 \end{bmatrix} \quad R := \begin{bmatrix} 1 & 1 & 1 & 1 & 1 & 1 & 1 & 1 & 0 \\ 1 & 1 & 1 & 1 & 1 & 1 & 1 & 1 & 0 \\ 1 & 1 & 1 & 1 & 1 & 1 & 1 & 1 & 0 \\ 1 & 1 & 1 & 1 & 1 & 1 & 1 & 1 & 0 \\ 1 & 1 & 1 & 1 & 1 & 1 & 1 & 1 & 0 \\ 1 & 1 & 1 & 1 & 1 & 1 & 1 & 1 & 0 \\ 1 & 1 & 1 & 1 & 1 & 1 & 1 & 1 & 0 \\ 1 & 1 & 1 & 1 & 1 & 1 & 1 & 1 & 0 \\ 0 & 0 & 0 & 0 & 0 & 0 & 0 & 0 & 0 \\ 0 & 0 & 0 & 0 & 0 & 0 & 0 & 0 & 0 \end{bmatrix}$$

Во всех 4-х случаях граничные коммутаторы остаются связанными между собой, поскольку, в угловой подматрице  $R_{ij}, i=1\dots 5, j=1\dots 5$  все элементы во всех 4 случаях равны 1,

$$\text{и, соответственно индикатор связности граничных коммутаторов: } W = \bigwedge_{i=1}^5 \bigwedge_{j=1; j \neq i}^5 R_{ij} = 1.$$

Тогда, поскольку во всех 4-х случаях  $W = 1$ , то коэффициент  $\psi_1 = 4$ .

При  $q = 2$  имеем  $C_4^2 = 6$  сочетаний  $FV = \{6,7\}$ ,  $FV = \{6,8\}$ ,  $FV = \{6,9\}$ ,  $FV = \{7,8\}$ ,  $FV = \{7,9\}$ ,  $FV = \{8,9\}$  отказов 2 из 4 опорных коммутаторов. Для каждого сочетания вычисляем матрицу достижимости, принимая в качестве начальной матрицы достижимости матрицу смежности  $A$  с обнуленными строками и столбцами, имеющими номера, входящие в сочетание  $FV$ . В результате вычислений получаем 6 матриц достижимости:

$$\begin{aligned}
 R &:= \begin{bmatrix} 1 & 1 & 1 & 1 & 1 & 0 & 0 & 1 & 1 \\ 1 & 1 & 1 & 1 & 1 & 0 & 0 & 1 & 1 \\ 1 & 1 & 1 & 1 & 1 & 0 & 0 & 1 & 1 \\ 1 & 1 & 1 & 1 & 1 & 0 & 0 & 1 & 1 \\ 1 & 1 & 1 & 1 & 1 & 0 & 0 & 1 & 1 \\ 0 & 0 & 0 & 0 & 0 & 0 & 0 & 0 & 0 \\ 0 & 0 & 0 & 0 & 0 & 0 & 0 & 0 & 0 \\ 1 & 1 & 1 & 1 & 1 & 0 & 0 & 1 & 1 \\ 1 & 1 & 1 & 1 & 1 & 0 & 0 & 1 & 1 \end{bmatrix} & R &:= \begin{bmatrix} 1 & 1 & 1 & 1 & 1 & 0 & 1 & 0 & 1 \\ 1 & 1 & 1 & 1 & 1 & 0 & 1 & 0 & 1 \\ 1 & 1 & 1 & 1 & 1 & 0 & 1 & 0 & 1 \\ 1 & 1 & 1 & 1 & 1 & 0 & 1 & 0 & 1 \\ 1 & 1 & 1 & 1 & 1 & 0 & 1 & 0 & 1 \\ 0 & 0 & 0 & 0 & 0 & 0 & 0 & 0 & 0 \\ 1 & 1 & 1 & 1 & 1 & 0 & 1 & 0 & 1 \\ 0 & 0 & 0 & 0 & 0 & 0 & 0 & 0 & 0 \\ 1 & 1 & 1 & 1 & 1 & 0 & 1 & 0 & 1 \end{bmatrix} & R &:= \begin{bmatrix} 1 & 1 & 1 & 1 & 1 & 0 & 1 & 1 & 0 \\ 1 & 1 & 1 & 1 & 1 & 0 & 1 & 1 & 0 \\ 1 & 1 & 1 & 1 & 1 & 0 & 1 & 1 & 0 \\ 1 & 1 & 1 & 1 & 1 & 0 & 1 & 1 & 0 \\ 1 & 1 & 1 & 1 & 1 & 0 & 1 & 1 & 0 \\ 0 & 0 & 0 & 0 & 0 & 0 & 0 & 0 & 0 \\ 1 & 1 & 1 & 1 & 1 & 0 & 1 & 1 & 0 \\ 1 & 1 & 1 & 1 & 1 & 0 & 1 & 1 & 0 \\ 0 & 0 & 0 & 0 & 0 & 0 & 0 & 0 & 0 \end{bmatrix} \\
R &:= \begin{bmatrix} 1 & 1 & 0 & 1 & 1 & 1 & 0 & 0 & 1 \\ 1 & 1 & 0 & 1 & 1 & 1 & 0 & 0 & 1 \\ 0 & 0 & 0 & 0 & 0 & 0 & 0 & 0 & 0 \\ 1 & 1 & 0 & 1 & 1 & 1 & 0 & 0 & 1 \\ 1 & 1 & 0 & 1 & 1 & 1 & 0 & 0 & 1 \\ 1 & 1 & 0 & 1 & 1 & 1 & 0 & 0 & 1 \\ 0 & 0 & 0 & 0 & 0 & 0 & 0 & 0 & 0 \\ 0 & 0 & 0 & 0 & 0 & 0 & 0 & 0 & 0 \\ 1 & 1 & 0 & 1 & 1 & 1 & 0 & 0 & 1 \end{bmatrix} & R &:= \begin{bmatrix} 1 & 1 & 0 & 0 & 1 & 1 & 0 & 0 & 0 \\ 1 & 1 & 0 & 0 & 1 & 1 & 0 & 0 & 0 \\ 0 & 0 & 1 & 1 & 0 & 0 & 0 & 1 & 0 \\ 0 & 0 & 1 & 1 & 0 & 0 & 0 & 1 & 0 \\ 1 & 1 & 0 & 0 & 1 & 1 & 0 & 0 & 0 \\ 1 & 1 & 0 & 0 & 1 & 1 & 0 & 0 & 0 \\ 0 & 0 & 0 & 0 & 0 & 0 & 0 & 0 & 0 \\ 0 & 0 & 1 & 1 & 0 & 0 & 0 & 1 & 0 \\ 0 & 0 & 0 & 0 & 0 & 0 & 0 & 0 & 0 \end{bmatrix} & R &:= \begin{bmatrix} 1 & 1 & 1 & 0 & 1 & 1 & 1 & 0 & 0 \\ 1 & 1 & 1 & 0 & 1 & 1 & 1 & 0 & 0 \\ 1 & 1 & 1 & 0 & 1 & 1 & 1 & 0 & 0 \\ 0 & 0 & 0 & 0 & 0 & 0 & 0 & 0 & 0 \\ 1 & 1 & 1 & 0 & 1 & 1 & 1 & 0 & 0 \\ 1 & 1 & 1 & 0 & 1 & 1 & 1 & 0 & 0 \\ 1 & 1 & 1 & 0 & 1 & 1 & 1 & 0 & 0 \\ 0 & 0 & 0 & 0 & 0 & 0 & 0 & 0 & 0 \\ 0 & 0 & 0 & 0 & 0 & 0 & 0 & 0 & 0 \end{bmatrix}
\end{aligned}$$

Заметим, что в 3-х случаях  $FV = \{6,7\}$ ,  $FV = \{6,8\}$ ,  $FV = \{6,9\}$ , граничные коммутаторы сохраняются связность, поскольку в угловой подматрице  $R_{ij}, i=1...5, j=1...5$  матрицы достижимости все элементы во всех этих случаях равны 1, и, соответственно, индикатор

$$\text{связности граничных коммутаторов } W = \bigwedge_{i=1}^5 \bigwedge_{j=1; j \neq i}^5 R_{ij} = 1.$$

В других же 3-х случаях  $FV = \{7,8\}$ ,  $FV = \{7,9\}$ ,  $FV = \{8,9\}$ , отказ соответствующих опорных коммутаторов приводит к нарушению связности между граничными коммутаторами и,

$$\text{соответственно, индикатор связности граничных коммутаторов } W = \bigwedge_{i=1}^5 \bigwedge_{j=1; j \neq i}^5 R_{ij} = 0. \text{ Так,}$$

например, отказ опорных коммутаторов  $P_7$  и  $P_8$  приводит к изоляции граничного коммутатора  $PE_3$ , а отказ опорных коммутаторов  $P_8$  и  $P_9$  приводит к изоляции граничного коммутатора  $PE_4$ , наконец, отказ опорных коммутаторов  $P_7$  и  $P_9$  приводит к образованию двух несвязанных подгрупп граничных коммутаторов  $\{PE_1, PE_2, PE_5\}$  и  $\{PE_3, PE_4\}$ .

Тогда, поскольку только в 3-х из 6 случаев сохраняется связность граничных коммутаторов ( $W = 1$ ), то коэффициент  $\psi_2 = 3$ .

При  $q = 3$  имеем  $C_4^3 = 4$  сочетания  $FV = \{6,7,8\}$ ,  $FV = \{6,7,9\}$ ,  $FV = \{6,8,9\}$ ,  $FV = \{7,8,9\}$  отказов 3 из 4 опорных коммутаторов. Для каждого сочетания вычисляем матрицу достижимости, принимая в качестве начальной матрицы достижимости матрицу смежности  $A$  с обнуленными строками и столбцами, имеющими номера, входящие в сочетание  $FV$ .

В результате вычислений получаем 4 матрицы достижимости:

$$R := \begin{bmatrix} 1 & 1 & 0 & 1 & 1 & 0 & 0 & 0 & 1 \\ 1 & 1 & 0 & 1 & 1 & 0 & 0 & 0 & 1 \\ 0 & 0 & 0 & 0 & 0 & 0 & 0 & 0 & 0 \\ 1 & 1 & 0 & 1 & 1 & 0 & 0 & 0 & 1 \\ 1 & 1 & 0 & 1 & 1 & 0 & 0 & 0 & 1 \\ 0 & 0 & 0 & 0 & 0 & 0 & 0 & 0 & 0 \\ 0 & 0 & 0 & 0 & 0 & 0 & 0 & 0 & 0 \\ 0 & 0 & 0 & 0 & 0 & 0 & 0 & 0 & 0 \\ 1 & 1 & 0 & 1 & 1 & 0 & 0 & 0 & 1 \end{bmatrix} \quad R := \begin{bmatrix} 1 & 1 & 0 & 0 & 1 & 0 & 0 & 0 & 0 \\ 1 & 1 & 0 & 0 & 1 & 0 & 0 & 0 & 0 \\ 0 & 0 & 1 & 1 & 0 & 0 & 0 & 1 & 0 \\ 0 & 0 & 1 & 1 & 0 & 0 & 0 & 1 & 0 \\ 1 & 1 & 0 & 0 & 1 & 0 & 0 & 0 & 0 \\ 0 & 0 & 0 & 0 & 0 & 0 & 0 & 0 & 0 \\ 0 & 0 & 0 & 0 & 0 & 0 & 0 & 0 & 0 \\ 0 & 0 & 1 & 1 & 0 & 0 & 0 & 1 & 0 \\ 0 & 0 & 0 & 0 & 0 & 0 & 0 & 0 & 0 \end{bmatrix} \quad R := \begin{bmatrix} 1 & 1 & 1 & 0 & 1 & 0 & 1 & 0 & 0 \\ 1 & 1 & 1 & 0 & 1 & 0 & 1 & 0 & 0 \\ 1 & 1 & 1 & 0 & 1 & 0 & 1 & 0 & 0 \\ 0 & 0 & 0 & 0 & 0 & 0 & 0 & 0 & 0 \\ 1 & 1 & 1 & 0 & 1 & 0 & 1 & 0 & 0 \\ 0 & 0 & 0 & 0 & 0 & 0 & 0 & 0 & 0 \\ 1 & 1 & 1 & 0 & 1 & 0 & 1 & 0 & 0 \\ 0 & 0 & 0 & 0 & 0 & 0 & 0 & 0 & 0 \\ 0 & 0 & 0 & 0 & 0 & 0 & 0 & 0 & 0 \end{bmatrix} \quad R := \begin{bmatrix} 1 & 1 & 0 & 0 & 1 & 1 & 0 & 0 & 0 \\ 1 & 1 & 0 & 0 & 1 & 1 & 0 & 0 & 0 \\ 0 & 0 & 0 & 0 & 0 & 0 & 0 & 0 & 0 \\ 0 & 0 & 0 & 0 & 0 & 0 & 0 & 0 & 0 \\ 1 & 1 & 0 & 0 & 1 & 1 & 0 & 0 & 0 \\ 1 & 1 & 0 & 0 & 1 & 1 & 0 & 0 & 0 \\ 0 & 0 & 0 & 0 & 0 & 0 & 0 & 0 & 0 \\ 0 & 0 & 0 & 0 & 0 & 0 & 0 & 0 & 0 \\ 0 & 0 & 0 & 0 & 0 & 0 & 0 & 0 & 0 \end{bmatrix}$$

Заметим, что во всех 4-х случаях нарушается связность граничных коммутаторов, и, соответственно, индикатор связности граничных коммутаторов  $W = \bigwedge_{i=1}^5 \bigwedge_{j=1; j \neq i}^5 R_{ij} = 0$ .

Тогда, поскольку ни в одном из 4-х случаев не сохраняется связность граничных коммутаторов ( $W = 0$ ), то коэффициент  $\psi_3 = 0$ .

Поскольку мы при  $q = 3$  получили нулевой коэффициент, то есть ни при одном сочетании тройных отказов опорных коммутаторов не сохраняется связность граничных коммутаторов, то **при  $q = 4$**  тем более не найдется ни одного сочетания, при котором сохранялась бы связность, поэтому мы завершаем вычисления, приняв коэффициент  $\psi_4 = 0$ .

Таким образом, мы вычислили все коэффициенты:  $\psi_0 = 1; \psi_1 = 4; \psi_2 = 3; \psi_3 = 0; \psi_4 = 0$ . Остается только подставить их в формулу для вычисления коэффициента готовности сети.

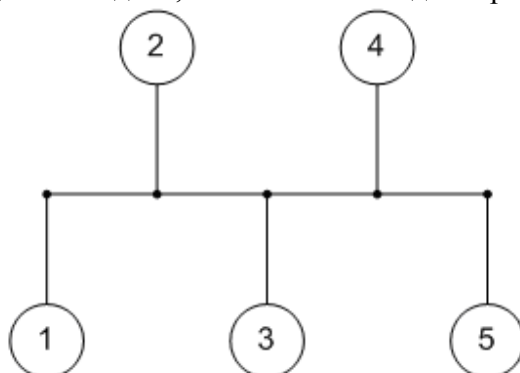
Учитывая, что  $\rho_P = \lambda_P / \mu_P = 1/2920$ ,  $\rho_{PE} = \lambda_{PE} / \mu_{PE} = 1/8760$  в итоге получаем:

$$K_{net} = \frac{\sum_{q=0}^4 \left( \psi_q \cdot (\rho_P)^q \right)}{(1 + \rho_P)^4 \cdot (1 + \rho_{PE})^5} = \frac{1 + 4 \cdot \rho_P + 3 \cdot \rho_P^2}{(1 + \rho_P)^4 \cdot (1 + \rho_{PE})^5} \approx 0,999429$$

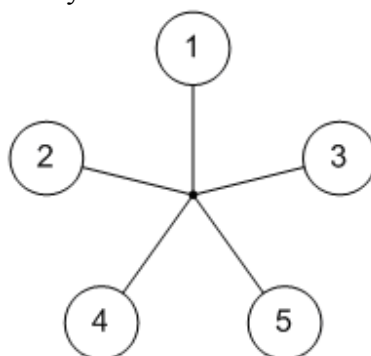
Если оценить среднее количество часов недоступности магистральной сети провайдера в год (8760 часов) по формуле  $8760 \cdot (1 - K_{net})$ , то получаем около **5 часов** недоступности в год.

### 3.2. Преобразование разделяемых и многоточечных соединений

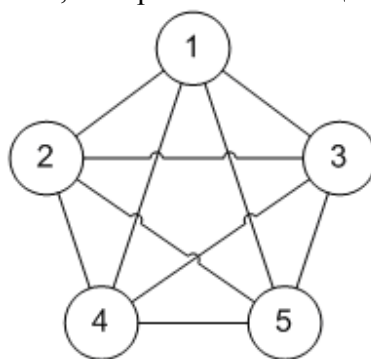
Как в локальных сетях, так и в магистральных сетях могут встречаться разделяемые среды передачи данных, когда к одной линии связи подключено более двух узлов сети по топологии «шина». Классическим примером являются сети, построенные на коаксиальном кабеле, устаревшем на сегодняшний день, но все-таки иногда встречающимся в сетях.



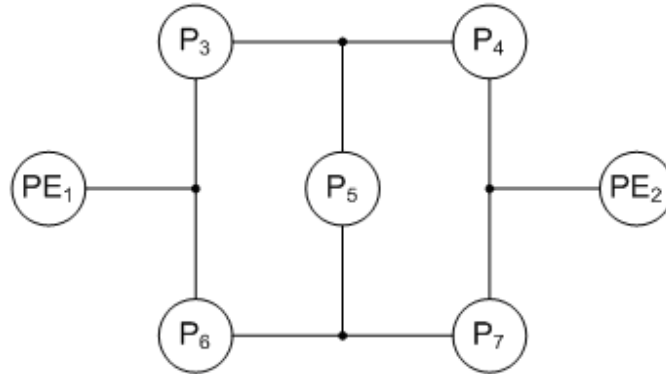
Кроме того, иногда при рассмотрении множества узлов более высокого уровня (маршрутизаторов, например), подключенных по топологии «звезда» к устройству более низкого уровня (Ethernet, ATM или Frame-Relay коммутатор, например), связующее устройство не принимается во внимание при анализе надежности для сокращения числа типов и количества рассматриваемых объектов. В таких случаях мы имеем многоточечное соединение.



Если на разделяемые и многоточечные соединения не накладываются какие-либо специальные ограничения на взаимодействие узлов, и каждый узел может связываться с каждым другим, то, очевидно, такие соединения всегда могут быть преобразованы в набор из  $C_n^2$  двухточечных логических соединений, попарно связывающих узлы.



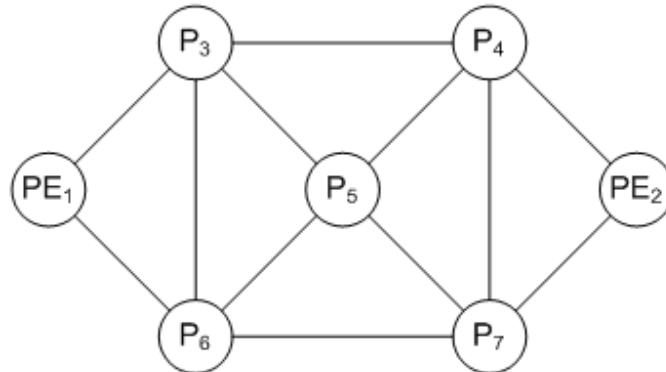
Пример. Задана двухуровневая магистральная сеть провайдера, содержащая  $n = 7$  коммутаторов  $V = \{1, 2, 3, 4, 5, 6, 7\}$ , в том числе  $r = 5$  опорных коммутаторов  $PV = \{3, 4, 5, 6, 7\}$  со следующей физической топологией связей.



Опорные коммутаторы (**P**) имеют интенсивность отказов  $\lambda_p = 1/8760$  часов<sup>-1</sup> и восстановления  $\mu_p = 1/3$  часов<sup>-1</sup>, граничные коммутаторы (**PE**) имеют интенсивность отказов  $\lambda_{PE} = 1/8760$  часов<sup>-1</sup> и восстановления  $\mu_{PE} = 1$  часов<sup>-1</sup>.

Определить коэффициент готовности магистральной сети.

Решение. Преобразуем все многоточечные соединения в соответствующие наборы двухточечных соединений и в итоге получим следующую логическую топологию связей.



Логическая топология может быть описана при помощи списка пар связанных между собой коммутаторов:  $L := \{(1, 3), (1, 6), (2, 4), (2, 7), (3, 4), (3, 5), (3, 6), (4, 5), (4, 7), (5, 6), (5, 7), (6, 7)\}$ .

Соответственно, матрица смежности для данной топологии имеет вид:

$$A := \begin{bmatrix} 0 & 0 & 1 & 0 & 0 & 1 & 0 \\ 0 & 0 & 0 & 1 & 0 & 0 & 1 \\ 1 & 0 & 0 & 1 & 1 & 1 & 0 \\ 0 & 1 & 1 & 0 & 1 & 0 & 1 \\ 0 & 0 & 1 & 1 & 0 & 1 & 1 \\ 1 & 0 & 1 & 0 & 1 & 0 & 1 \\ 0 & 1 & 0 & 1 & 1 & 1 & 0 \end{bmatrix}$$

Теперь для каждого  $q = 0 \dots 5$  генерируем все сочетания  $FV \subseteq PV = \{3, 4, 5, 6, 7\}$  отказов  $q$  из 5 опорных коммутаторов, и для каждого сочетания  $FV$  строим матрицу достижимости  $R$  по матрице смежности  $A$  и по сочетанию  $FV$ , вычисляем индикатор связности  $W$  по матрице достижимости  $R$  и подмножеству опорных коммутаторов  $PV$ , и подсчитываем количество сочетаний, при которых  $W = 1$ , это количество и будет искомым коэффициентом  $\psi_q$ .

**При  $q = 0$**  имеем единственное вырожденное сочетание отказов  $FV = \{\}$ , и в этом случае граничные коммутаторы сохраняют связность. Соответственно, коэффициент  $\psi_0 = 1$ .

**При  $q = 1$**  имеем  $C_5^1 = 5$  сочетаний отказов опорных коммутаторов  $FV = \{3\}$ ,  $FV = \{4\}$ ,  $FV = \{5\}$ ,  $FV = \{6\}$ ,  $FV = \{7\}$ , и, анализируя матрицы достижимости, можно увидеть, что во всех случаях граничные коммутаторы сохраняют связность. Соответственно, коэффициент  $\psi_1 = 5$ .

**При  $q = 2$**  имеем  $C_5^2 = 10$  сочетаний отказов  $FV = \{3,4\}$ ,  $FV = \{3,5\}$ ,  $FV = \{3,6\}$ ,  $FV = \{3,7\}$ ,  $FV = \{4,5\}$ ,  $FV = \{4,6\}$ ,  $FV = \{4,7\}$ ,  $FV = \{5,6\}$ ,  $FV = \{5,7\}$ ,  $FV = \{6,7\}$ . Анализируя матрицы достижимости, можно увидеть, что только в 8 случаях  $FV = \{3,4\}$ ,  $FV = \{3,5\}$ ,  $FV = \{3,7\}$ ,  $FV = \{4,5\}$ ,  $FV = \{4,6\}$ ,  $FV = \{5,6\}$ ,  $FV = \{5,7\}$ ,  $FV = \{6,7\}$  граничные коммутаторы сохраняют связность. Соответственно, коэффициент  $\psi_2 = 8$ .

**При  $q = 3$**  имеем  $C_5^3 = 10$  сочетаний  $FV = \{3,4,5\}$ ,  $FV = \{3,4,6\}$ ,  $FV = \{3,4,7\}$ ,  $FV = \{3,5,6\}$ ,  $FV = \{3,5,7\}$ ,  $FV = \{3,6,7\}$ ,  $FV = \{4,5,6\}$ ,  $FV = \{4,5,7\}$ ,  $FV = \{4,6,7\}$ ,  $FV = \{5,6,7\}$ . Анализируя матрицы достижимости, можно увидеть, что только в 2 случаях  $FV = \{3,4,5\}$  и  $FV = \{5,6,7\}$  граничные коммутаторы сохраняют связность. Соответственно, коэффициент  $\psi_3 = 2$ .

**При  $q = 4$**  имеем  $C_5^4 = 5$  сочетаний отказов опорных коммутаторов  $FV = \{3,4,5,6\}$ ,  $FV = \{3,4,5,7\}$ ,  $FV = \{3,4,6,7\}$ ,  $FV = \{3,5,6,7\}$ ,  $FV = \{4,5,6,7\}$ , и, анализируя матрицы достижимости, можно увидеть, что ни в одном из случаев граничные коммутаторы не сохраняют связность. Соответственно, коэффициент  $\psi_4 = 0$ .

Тогда, очевидно, **при  $q = 5$** , тем более нет случаев, при которых сохраняется связность граничных коммутаторов и, соответственно, коэффициент  $\psi_5 = 0$ .

В итоге мы вычислили все коэффициенты:  $\psi_0 = 1; \psi_1 = 5; \psi_2 = 8; \psi_3 = 2; \psi_4 = 0; \psi_5 = 0$ . Остается только подставить их в формулу для вычисления коэффициента готовности сети.

Учитывая, что  $\rho_p = \lambda_p / \mu_p = 1/2920$ ,  $\rho_{pe} = \lambda_{pe} / \mu_{pe} = 1/8760$  в итоге получаем:

$$K_{net} = \frac{\sum_{q=0}^5 \left( \psi_q \cdot (\rho_p)^q \right)}{(1 + \rho_p)^5 \cdot (1 + \rho_{pe})^2} = \frac{1 + 5 \cdot \rho_p + 8 \cdot \rho_p^2 + 2 \cdot \rho_p^3}{(1 + \rho_p)^5 \cdot (1 + \rho_{pe})^2} \approx 0,9997715$$

Если оценить среднее количество часов недоступности магистральной сети провайдера в год (8760 часов) по формуле  $8760 \cdot (1 - K_{net})$ , то получаем около **2 часов** недоступности в год.



## Приложение. Пример расчета в математическом пакете Maple 15.

```

restart;
with(combinat) :
with(plots) :
with(plottools) :

# TOPOLOGY AVAILABILITY CALCULATION FUNCTIONS (Pavel A. Rahman, 2010)

# Nodes Adjacency Matrix Calculation Procedure
# for given number of nodes and list of linked pairs

NC_Adj := proc(n, Links) local res, i :
  res := Matrix(n, n, 0) :
  for i in Links do
    res[i[1], i[2]] := 1;
    res[i[2], i[1]] := 1;
  end do;
  return(res) :
end proc;

# Nodes Reachability Matrix Calculation Procedure for given
# number of nodes, list of linked pairs and list of failed nodes

NC_Reach := proc(n, Links, FV) local i, j, s, res, AM :
  AM := NC_Adj(n, Links) :
  res := Matrix(n, n) :
  for i from 1 to n do
    for j from 1 to n do
      if ((i in FV) or (j in FV)) then
        res[i, j] := 0 :
      else
        res[i, j] := AM[i, j] :
      end if;
    end do;
  end do;
  for s from 1 to n do
    for i from 1 to n do
      for j from 1 to n do
        res[i, j] := max(res[i, j], min(res[i, s], res[s, j])) :
      end do;
    end do;
  end do;
  return(res) :
end proc;

```

*# Edge Nodes Connectivity Check Procedure for given number of  
# nodes, list of linked pairs, list of failed nodes, list of core P-nodes*

```

NC_Connected := proc(n, Links, FV, PV) local i, j, res, RM, EV :
  RM := NC_Reach(n, Links, FV) :
  EV := [ ] :
  for i from 1 to n do
    if not(i in PV) then
      EV := [op(EV), i] :
    end if:
  end do:
  res := 1 :
  for i in EV do
    for j in EV do
      if (i ≠ j) then
        res := min(res, RM[i, j]) :
      end if:
    end do:
  end do:
  return(res) :
end proc:

```

*# Edge Nodes Successful Connectivity Counts Procedure for given  
# number of nodes, number of core P-nodes and list of linked pairs*

```

NC_Stats := proc(n, r, Links) local i, q, PV, FV, res, flag :
  PV := [seq(i, i = n - r + 1 .. n)] :
  flag := 0 : res := Array(0 .. r, 0) :
  for q from 0 to r while (flag = 0) do
    for FV in choose(PV, q) do
      if (NC_Connected(n, Links, FV, PV) = 1) then
        res[q] := res[q] + 1 :
      end if:
    end do:
    if (res[q] = 0) then
      flag := 1 :
    end if:
  end do:
  return(res) :
end proc:

```

*# Network Availability (Edge Nodes Connectivity) Calculation Procedure  
# for given number of nodes, number of core P-nodes, list of linked pairs,  
# failure to recovery intensity ratio for edge PE-nodes and  
# failure to recovery intensity ratio for core P-nodes*

```

KNET := proc(n, r, rho_PE, rho_P, Links) local res, psi :
  psi := NC_Stats(n, r, Links) :
  res := add(psi[q] * rho_P^q, q = 0 .. r) / (((1 + rho_PE)^(n - r)) * ((1 + rho_P)^r)) :
  return(res) :
end proc:

```

# NETWORK TOPOLOGY VISUALIZATION FUNCTION (Pavel A. Rahman, 2012)

```

GPLOT := proc(n, r, Links, PCL) local i, Edge, PA, PB, PointSet, TextSet, LineSet, res,
    dist, alpha, radius, x, y, z, x1, x2, y1, y2, z1, z2 :
    PointSet := { } : TextSet := { } : LineSet := { } :
    radius := 15 :
    for i from 1 to n-r do
        x := PCL[i, 1] : y := PCL[i, 2] : z := PCL[i, 3] :
        PointSet := PointSet union {sphere([x, y, z], radius, color = green, style = patchnogrid, transparency
            = 0.7)} :
        TextSet := TextSet union {textplot3d([x, y, z, i, font = [TIMES, ROMAN, 14], color = black]} :
    end do:
    for i from n-r + 1 to n do
        x := PCL[i, 1] : y := PCL[i, 2] : z := PCL[i, 3] :
        PointSet := PointSet union {sphere([x, y, z], radius, color = cyan, style = patchnogrid, transparency
            = 0.7)} :
        TextSet := TextSet union {textplot3d([x, y, z, i, font = [TIMES, ROMAN, 14], color = black]} :
    end do:
    for Edge in Links do
        PA := Edge[1] : PB := Edge[2] :
        dist := sqrt((PCL[PA, 1]-PCL[PB, 1])^2 + (PCL[PA, 2]-PCL[PB, 2])^2 + (PCL[PA, 3]
            -PCL[PB, 3])^2) :
        alpha := radius/dist :
        x1 := trunc(alpha*PCL[PA, 1] + (1-alpha)*PCL[PB, 1]) : x2 := trunc((1-alpha)*PCL[PA, 1]
            + alpha*PCL[PB, 1]) :
        y1 := trunc(alpha*PCL[PA, 2] + (1-alpha)*PCL[PB, 2]) : y2 := trunc((1-alpha)*PCL[PA, 2]
            + alpha*PCL[PB, 2]) :
        z1 := trunc(alpha*PCL[PA, 3] + (1-alpha)*PCL[PB, 3]) : z2 := trunc((1-alpha)*PCL[PA, 3]
            + alpha*PCL[PB, 3]) :
        LineSet := LineSet union {line([x1, y1, z1], [x2, y2, z2], color = blue, thickness = 2)} :
    end do:
    res := PointSet union TextSet union LineSet :
    return(res) :
end proc:

```

# NETWORK TOPOLOGY AVAILABILITY (Edge nodes connectivity) CALCULATION EXAMPLE

```

# Total number and list of nodes (P and PE)
n := 9; V := [seq(i, i = 1..n)];
# Number and list of provider core P-nodes
r := 4; PV := [seq(i, i = n-r + 1..n)];

```

9

[1, 2, 3, 4, 5, 6, 7, 8, 9]

4

[6, 7, 8, 9]

(1)

# Reliability parameters

$\lambda_P := 1/8760 : \mu_P := 1/3 : \rho_P := \lambda_P / \mu_P;$

$\lambda_{PE} := 1/8760 : \mu_{PE} := 1/1 : \rho_{PE} := \lambda_{PE} / \mu_{PE};$

$$\frac{1}{2920}$$

$$\frac{1}{8760}$$

(2)

# Network graph as a list of pair of linked nodes

$L := [[1, 2], [1, 5], [1, 6], [2, 6], [2, 7], [3, 7], [3, 8], [4, 8], [4, 9], [5, 6], [5, 9], [6, 7], [6, 9], [7, 8], [7, 9], [8, 9]];$

$[[1, 2], [1, 5], [1, 6], [2, 6], [2, 7], [3, 7], [3, 8], [4, 8], [4, 9], [5, 6], [5, 9], [6, 7], [6, 9], [7, 8], [7, 9], [8, 9]]$  (3)

# Network Availability (Edge Nodes Connectivity)

# and expected number of days of unavailability

$NET\_AV := evalf(KNET(n, 4, \rho_{PE}, \rho_P, L));$

$(1 - NET\_AV) * 8760;$

$$0.9994290678$$

$$5.001366$$

(4)

# Building points coordinates list (for topology visualization)

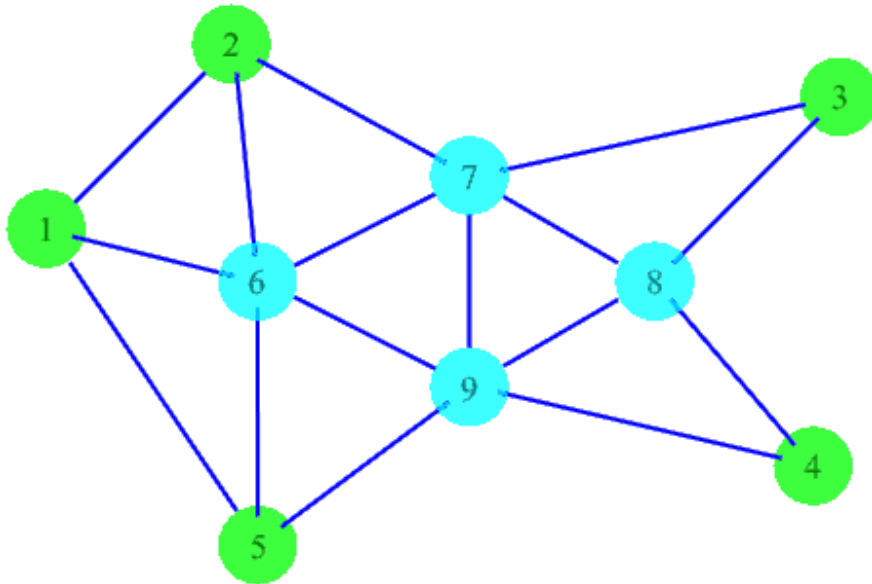
$CoordsList := [[-160, 20, -50], [-90, 90, -50], [140, 70, -50],$

$[130, -70, -50], [-80, -100, -50], [-80, 0, 50],$

$[0, 40, 50], [70, 0, 50], [0, -40, 50]];$

# Drawing network topology using visualization function

$display(GPLOT(n, r, L, CoordsList), scaling = constrained, axes = none, orientation = [270, 0, 0]);$



### Список литературы

1. **Черкесов Г.Н.** Надежность аппаратно-программных комплексов. – СПб.: Питер, 2005.
2. **Половко А.М., Гуров С.В.** Основы теории надежности. – 2-е изд., переработанное и дополненное. – СПб.: БХВ-Петербург, 2006.
3. **Гнеденко Б.В.** Курс теории вероятностей. – М.: Едиториал УРСС, 2005.
4. **Новиков Ф.А.** Дискретная математика для программистов. – 3-е изд. – СПб.: Питер, 2009.
5. **Олифер В.Г., Олифер Н.А.** Компьютерные сети. – 4-е изд. – СПб.: Питер, 2010.
6. **Diane Teare, Catherine Paquet.** Campus Network Design Fundamentals. – Cisco Press, 2005.
7. **Iftekhar Hussain.** Fault-Tolerant IP and MPLS Networks. – Cisco Press, 2004.

## Содержание

Введение .....	1
1. Марковские модели надежности восстанавливаемых систем.....	2
1.1. Марковская модель восстанавливаемого объекта .....	2
1.2. Марковская модель пары независимых восстанавливаемых объектов.....	2
1.3. Марковская модель группы независимых восстанавливаемых объектов.....	3
1.4. Марковская модель множества групп независимых объектов .....	4
2. Анализ комплексных показателей надежности локальных сетей .....	5
2.1. Двухуровневые локальные сети с выделенным ядром .....	5
2.2. Трехуровневые локальные сети с ядром и одной подгруппой распределения .....	6
2.3. Трехуровневые локальные сети с ядром и с подгруппами распределения.....	9
3. Анализ показателей надежности магистральных сетей .....	11
3.1. Двухуровневые магистральные сети провайдеров с заданной топологией.....	11
3.2. Преобразование разделяемых и многоточечных соединений .....	22
Приложение. Пример расчета в математическом пакете Maple 15.....	25
Список литературы .....	29
Содержание .....	30